

**KELULUSAN KEKASARAN PERMUKAAN PROSES BOR BAJA
SKD II PADA MESIN CNC**

PROYEK AKHIR

*Proyek akhir ini dibuat dan diajukan untuk memenuhi salah satu syarat kelulusan
Diploma IV/Teknik Mesin/Diploma IV Politeknik Manufaktur Negeri Bangka Belitung*



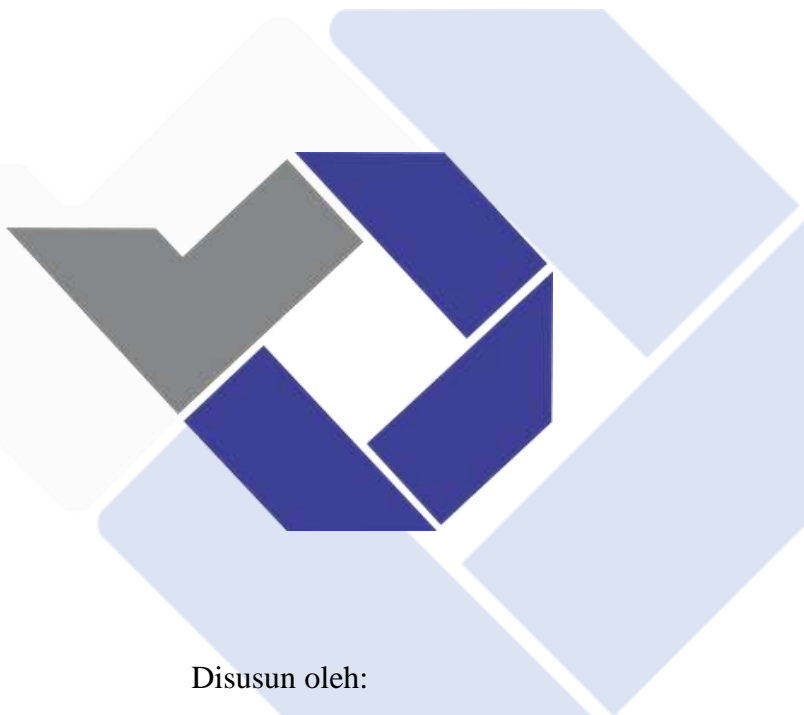
Dilakukan Oleh:
Papar Jelansah NIRM: 1041726

**POLITEKNIK MANUFAKTUR NEGERI
BANGKA BELITUNG
TAHUN 2021**

**ANALISIS KEKASARAN PERMUKAAN PROSES BOR BAJA
SKD 11 PADA MESIN CNC**

PROYEK AKHIR

Laporan akhir ini dibuat dan diajukan untuk memenuhi syarat kelulusan Sarjana
Terapan Politeknik Manufaktur Negeri Bangka Belitung



Disusun oleh:

Pajar Juliansah NIRM : 1041726

**POLITEKNIK MANUFAKTUR NEGERI
BANGKA BELITUNG**

2022

LEMBAR PENGESAHAN

ANALISIS KEKASARAN PERMUKAAN PROSES BOR BAJA SKD 11 PADA MESIN CNC

Oleh:

Pajar Juliansah/NIRM : 1041726

Laporan akhir ini telah disetujui dan disahkan sebagai salah satu syarat kelulusan
Program Sarjana Terapan Politeknik Manufaktur Negeri Bangka Belitung

Menyetujui,

Pembimbing 1



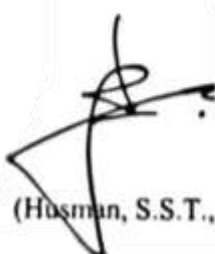
(Zulfitriyanto, S.S.T., M.T)

Pembimbing 2



(Nanda Pranandita, S.S.T., M.T)

Penguji 1



(Husman, S.S.T., M.T)

Penguji 2



(Zaldy Kurniawan, S.S.T., M.T)

PERNYATAAN BUKAN PLAGIAT

Yang bertanda tangan dibawah ini :

Nama Mahasiswa : Pajar Juliansah NIRM : 1041726

Dengan Judul : Analisis Kekasaran Permukaan Proses Bor
Baja SKD 11 Pada Mesin CNC

Menyatakan bahwa laporan akhir ini adalah hasil kerja kami sendiri dan bukan merupakan plagiat. Pernyataan ini kami buat dengan sebenarnya dan bila ternyata dikemudian hari ternyata melanggar pernyataan ini, kami bersedia menerima sanksi yang berlaku.

Muntok, 17 Januari 2022



Tanda Tangan

Nama Mahasiswa

I. PAJAR JULIANSAH

ABSTRAK

Salah satu kualitas terbaik dari suatu komponen adalah permukaan yang halus. Untuk mendapatkan nilai respon optimum, penentuan setting variabel proses harus tepat agar efektif. Baja SKD 11 adalah baja perkakas yang sering digunakan di bidang industri manufaktur sebagai alat pemotong, shear blades, alat stamping, punching, dies, dan lain lain. Oleh karena itu, diperlukan kekasaran permukaan yang baik. Kekasaran permukaan adalah ketidakteraturan bentuk dan penyimpangan karakteristik permukaan dalam bentuk guratan yang akan dilihat pada profil permukaan.

Penelitian ini melakukan proses drilling di mesin CNC Milling MORI SEIKI MV-40M menggunakan kombinasi variabel proses putaran spindle, feed rate dan pendingin. Metode yang digunakan adalah metode eksperimen dengan penyetelan parameter untuk mendapatkan nilai kekasaran permukaan dan analisis data menggunakan metode ANOVA.

Hasil penelitian menunjukkan bahwa kombinasi variabel yang menghasilkan nilai respon optimal adalah putaran spindel 1600 rpm, feed rate 120 mm/menit, dan jenis pendingin dromus. Dan variabel yang memberikan kontribusi terhadap rata-rata dari kekasaran permukaan berturut-turut adalah feed rate dengan nilai paling besar yaitu 64,87% dan 68,17%, diikuti dengan putaran spindel 18,52% dan 18,63% dan persentase terendah adalah variabel pendingin dengan nilai 14,92% dan 11,42%.

Kata Kunci : ANOVA, CNC, drilling, kekasaran permukaan, SKD 11

ABSTRACT

One of the best qualities of a component is a smooth surface. To get an optimum response value, the variable setting of the process must be correct in order to be effective. SKD 11 steel is often used in the manufacturing industry as the cutting tool, shear blades, stamping tools, punching, dies, and so on. Therefore, good surface rudeness is required. Roughness of the surface is the irregularity of the shapes and irregularities of the surface characteristics in the shape that will be seen on the surface profile.

The study conducted a gradual process in the CNC milling mori SEIKI MV-40M machine using a combination of variable spindle, feed rate and cooling processes. The method used is a beautifully tuned experimental method for obtaining cost-grade colesters and data analysis using the anova method.

The results showed that the combination of variables that produced the optimum response rate was about 1600 RPM, the rate of 120 mm per minute, and the kind of dromus cooling. And the average contribution to the average of surface sores is the rate of 64.87% and 68.17%, followed by a BBB of 18.52% and 18.63% and a lower percentage of the ceiling is 14.92% and 11.42%.

Keyword :ANOVA, CNC, drilling, surface roughness, SKD 11

KATA PENGANTAR

Puji syukur alhamdulillah atas kehadiran Allah SWT. yang telah memberikan rahmat dan karunia-Nya kepada penulis sehingga penulis dapat menyelesaikan tugas akhir ini dengan baik dan tepat waktu. Tugas akhir ini berjudul **“Analisis Kekasaran Permukaan Proses Bor Baja SKD 11 Pada Mesin CNC”**.

Adapun maksud dan tujuan dari tugas akhir ini adalah untuk memenuhi salah satu syarat guna mencapai gelar Sarjana Terapan pada Jurusan Teknik Mesin Program Studi Teknik Mesin dan Manufaktur Politeknik Manufaktur Negeri Bangka Belitung.

Penulis menyadari selama penyusunan tugas akhir ini telah melibatkan banyak pihak yang sangat membantu dan memberikan arahan serta membimbing penulis. Oleh karena itu, penulis ingin menyampaikan ucapan terima kasih yang sebesar-besarnya kepada :

1. Keluarga tercinta, khususnya Ayah dan Ibu serta kakak penulis yang selalu memberikan semangat, dukungan moral maupun materil, motivasi dan doanya sehingga skripsi ini terselesaikan dengan baik dan tepat waktu.
2. Bapak Zulfitriyanto, S.S.T., M.T. selaku dosen pembimbing utama yang telah berkenan menyediakan waktu untuk membimbing serta memberi arahan dalam penyusunan makalah tugas akhir ini.
3. Bapak Nanda Pranandita, S.S.T., M.T. selaku dosen pembimbing pendamping yang telah berkenan menyediakan waktu untuk membimbing serta memberi arahan dalam penyusunan makalah tugas akhir ini.
4. Bapak Husman, S.S.T., M.T dan Bapak Zaldy Kurniawan, S.S.T., M.T selaku dosen pengujii yang telah meluangkan waktu untuk memberi arahan serta saran yang bermanfaat kepada penulis.
5. Bapak Boy Rollastin, S.Tr., M.T. selaku Ketua Prodi Teknik Mesin dan Manufaktur Politeknik Manufaktur Negeri Bangka Belitung.
6. Bapak Pristiansyah S.S.T., M.Eng. selaku Ketua Jurusan Teknik Mesin Politeknik Manufaktur Negeri Bangka Belitung dan jajarannya.

7. Seluruh dosen, staf pengajar dan teknisi di Politeknik Manufaktur Negeri Bangka Belitung, khususnya pada program studi Teknik Mesin dan Manufaktur yang telah membuka pikiran dan wawasan keilmuan kami.
8. Seluruh pegawai Politeknik Manufaktur Negeri Bangka Belitung yang telah membantu dalam penyelesaian tugas akhir ini.
9. Orang terkasih penulis, Galindra Mutiara Rahmatullah yang selalu mendukung, memotivasi dan membantu dalam penyelesaian tugas akhir ini. Teman terbaik penulis, Desfia Dwi Iswara, Bagus Rendi Pratama dan *Skyhope Group* yang selalu memberikan dukungan.
10. Teman-teman seperjuangan, terutama kelas Teknik Mesin dan Manufaktur A (TMM A) yang telah memberikan motivasi, semangat, serta doa dan juga bantuan dalam penyelesaian tugas akhir ini.
11. Semua pihak yang tidak dapat penulis sebutkan satu-persatu yang telah banyak membantu dan memberikan motivasi serta dukungannya dalam kelancaran menyelesaikan tugas akhir ini baik secara langsung maupun tidak langsung. Terima kasih atas semuanya.

Penulis menyadari masih banyak kekurangan atas keterbatasan kemampuan dan ilmu pengetahuan yang dimiliki penulis sehingga dimungkinkan ada kekeliruan dan kesalahan, baik itu dari segi isi ataupun materi dalam susunan kalimatnya. Oleh karena itu, kritik dan saran yang membangun sangat dibutuhkan guna perbaikan dan pengembangan lebih lanjut.

Akhir kata penulis berharap semoga makalah ini dapat bermanfaat bagi semua pihak khususnya penulis dan pembaca pada umumnya untuk menambah pengetahuan kita dan semoga Politeknik Manufaktur Negeri Bangka Belitung dapat tumbuh dan berkembang pada generasi yang akan datang.

Sungailiat, Januari 2021

Penulis

DAFTAR ISI

HALAMAN JUDUL.....	i
LEMBAR PENGESAHAN	ii
PERNYATAAN BUKAN PLAGIAT	iii
ABSTRAK	iv
ABSTRACT	v
KATA PENGANTAR.....	vi
DAFTAR ISI.....	viii
DAFTAR TABEL	xi
DAFTAR GAMBAR.....	1
DAFTAR LAMPIRAN	1
BAB 1	2
PENDAHULUAN.....	2
1.1 Latar Belakang	2
1.2 Rumusan Masalah	4
1.3 Tujuan Penelitian	5
1.4 Batasan Masalah.....	5
1.5 Manfaat Penelitian	5
1.6 Sistematika Penulisan	5
BAB II	7
DASAR TEORI	7
2.1 Proses <i>Drilling</i>	7
2.1.1 Pengertian Proses <i>Drilling</i>	7
2.1.2 Pahat <i>Drill</i>	8
2.1.3 Parameter Proses Permesinan <i>Drill</i>	8
2.2 Cairan Pendingin.....	10
2.3 Kekasaran Permukaan	12
2.4 Material Benda Kerja	15
2.4.1 Baja SKD-11	16
2.5 Pengujian Homeogenitas dan Normalitas	16
2.6 ANAVA (Analisis Variansi).....	17

BAB III.....	19
METODE PENELITIAN	19
3.1 Tahapan Penelitian / <i>Flowchart</i>	19
3.1.1 Identifikasi Masalah	20
3.1.2 Studi Pustaka.....	20
3.1.3 Rumusan Masalah dan Tujuan Penelitian	20
3.1.4 Rancangan Penelitian	20
3.1.5 Rancangan Eksperimen.....	21
3.1.6 Persiapan Percobaan	22
3.1.7 Pelaksanaan Percobaan	24
3.1.8 Pengukuran dan Pengambilan Data	25
3.1.9 Analisis Data	26
3.1.10 Kesimpulan	27
BAB IV	28
HASIL DAN PEMBAHASAN	28
4.1 Pengambilan Data	28
4.2.1 Pengukuran Kekasaran Permukaan	28
4.2.2 Penentuan Kombinasi Variabel untuk Respon Optimal.....	29
4.2.3 Analisis Variansi	30
4.2 Perhitungan Rasio S/N Dari Respon	34
4.2.1 Pengaruh Level dari Faktor terhadap Variasi Kekasaran Permukaan	36
4.2.2 Analisis Varian Rasio S/N	37
4.3 Pembahasan dan Analisis	41
4.3.1 Hasil Perhitungan Rata-Rata.....	41
4.3.2 Hasil Perhitungan Rasio S/N.....	42
4.3.3 Analisis	43
4.3.4 Analisis Grafik.....	44
BAB V.....	46
KESIMPULAN DAN SARAN	46
5.1 Kesimpulan	46
5.2 Saran.....	46

DAFTAR PUSTAKA	47
LAMPIRAN.....	49



DAFTAR TABEL

Tabel	Halaman
Tabel 2. 1 Putaran mata bor dan feed beberapa material	9
Tabel 2. 2 Rekomendasi lubrikan untuk beberapa material.....	12
Tabel 2. 3 roughness number	14
Tabel 2. 4 Objek penggeraan akhir proses pemesinan.....	15
Tabel 3. 1 Setting level variabel proses.....	21
Tabel 3. 2 Spesimen Pengujian Benda Kerja.....	22
Tabel 3. 3 Spesifikasi Mesin CNC Milling MORI SEIKI MV-40M	23
Tabel 4. 1 Data Hasil Percobaan.....	28
Tabel 4. 2 Respon rata-rata dari pengaruh faktor.....	29
Tabel 4. 3 Kombinasi variabel proses untuk respon optimal	30
Tabel 4. 4 Analisis Variansi Rata-Rata Kekasaran Permukaan	34
Tabel 4. 5 Rasio S/N untuk respon	36
Tabel 4. 6 Respon Rasio S/N kekasaran permukaan.....	37
Tabel 4. 7 Kombinasi untuk respon optimal	37
Tabel 4. 8 Analisis variansi rasio S/N kekasaran permukaan	41
Tabel 4. 9 Hasil ANOVA rata-rata	41
Tabel 4. 10 Hasil ANOVA rata-rata rasio S/N	42
Tabel 4. 11 Kondisi Hipotesis Nol.....	44

DAFTAR GAMBAR

Gambar	Halaman
Gambar 2. 1 Proses Drilling (Widarto, 2008)	7
Gambar 2. 2 Proses Pengedrillan (Rasyid, 2020)	8
Gambar 2. 3 Posisi profil (Hadimi, 2008).....	13
Gambar 3. 1 Diagram Alir Penelitian.....	19
Gambar 3. 2 Mesin CNC Milling Mori Seiki MV-40M	23
Gambar 3. 3 Pahat drill carbide.....	24
Gambar 3. 4 Surface roughness tester.....	24
Gambar 3. 5 Titik pengujian benda kerja.....	25
Gambar 4. 1 Plot rata-rata kekasaran permukaan.....	45
Gambar 4. 2 Plot rasio S/N untuk kekasaran permukaan.....	45

DAFTAR LAMPIRAN

Gambar	Halaman
Lampiran 1 Daftar Riwayat Hidup	49
Lampiran 2 Data Hasil Pengukuran Benda kerja	50
Lampiran 3 Tes normalitas data	57
Lampiran 4 Data Analisa	58
Lampiran 5 Sertifikat	60
Lampiran 6 Perhitungan nilai parameter	63
Lampiran 7 Tabel F	64
Lampiran 8 Foto Proses Pemesinan	65

BAB 1

PENDAHULUAN

1.1 Latar Belakang

Perkembangan yang sangat pesat di industri manufaktur mengakibatkan industri manufaktur dituntut untuk menghasilkan produk berkualitas tinggi dengan waktu yang cepat serta minimum biaya. Untuk memenuhi kebutuhan tersebut, sangat disarankan untuk menggunakan mesin dengan teknologi *Computer Numerical Control* (CNC) karena memiliki banyak keunggulan.

Computer Numerical Control atau yang disingkat dengan CNC ialah sistem otomasi mesin yang terdiri dari perintah yang diprogram dengan cara abstrak kemudian disimpan pada media penyimpanan. Berbeda dengan perlakuan mesin alat sebelumnya dimana mesin dikontrol manual melalui rotasi manual atau otomatisasi sederhana menggunakan cam. Mesin CNC memiliki beberapa keunggulan yaitu memiliki tingkat akurasi pengukuran yang lebih akurat, dapat membuat bentuk kompleks, pergerakan mesin dapat dipantau pada layar monitor, sebuah proses yang cepat sehingga menghemat waktu. Banyak teknik pemesinan yang bisa dilakukan pada mesin CNC, salah satunya adalah proses pengeboran (*drilling*) [1].

Proses yang paling banyak digunakan untuk membentuk produk berbahan logam adalah proses permesinan dengan persentase penggunaan sekitar 60% hingga 80%. Hasil proses diharapkan memiliki kepresisian dan kehalusan yang tinggi, karena semakin tinggi presisi dan kehalusan maka dapat meminimalkan gesekan sehingga mesin dapat bekerja secara lancar [2].

Gurdi (pengeboran) adalah proses permesinan sederhana dibandingkan proses lainnya. Proses pengeboran digunakan untuk pembuatan lubang bulat pada benda kerja dengan menggunakan alat potong berputar yang disebut mata bor (*drill*). Penggunaan proses bor terbilang penting di industri. Hampir 25% proses produksi menggunakan proses pengeboran [3]. Banyak aspek yang mempengaruhi kualitas lubang bor. Semua aspek yang terlibat dalam proses pemotongan memainkan peran penting dalam menciptakan hasil permesinan berkualitas tinggi.

Biasanya aspek-aspek ini mencakup parameter pemotongan, pahar potong, material benda kerja serta sistem pendingin yang mencakup cairan pendingin pemotongan dan strategi pendinginan yang digunakan. [4]. Dikarenakan pahat bor menyentuh benda kerja yang terpotong, maka proses pelumasan cukup sulit dilakukan sehingga biasanya dilakukan dengan menyirami benda kerja yang akan dibuat lubang dengan cairan pendingin atau disemprotkan melalui lubang di tengah pahat bor [5].

Pada proses permesinan, tingkat kekasaran permukaan menjadi parameter kualitas utama. Salah satu indikator kualitas pekerjaan permesinan adalah pengukuran kekasaran permukaan. Nilai kekasaran permukaan dapat disebabkan beberapa faktor yaitu kecepatan potong, laju pemakanan, kedalaman potong, sudut potong, jenis material, pahat yang digunakan dan laju pelepasan chip. Faktor lain yang sering muncul di lapangan yaitu pengaturan alat potong yang tidak tepat, pencekaman benda kerja, kondisi mesin serta kompetensi operator [6]. Dan salah satu faktor yang dapat memberi pengaruh terhadap kekasaran permukaan adalah variasi penggunaan media pendingin (*coolant*). Pendingin terbukti dapat memperhalus permukaan benda kerja dan juga memiliki kegunaan khusus untuk memperpanjang umur pahat dan juga mengurangi gaya potong [7].

Baja SKD 11 termasuk baja perkakas *high quality* dengan ketangguhan material, kekerasan dan kekuatan yang tinggi serta memiliki ketahanan aus yang baik. Baja SKD 11 termasuk jenis *tool steel* yang sering digunakan dalam industri manufaktur sebagai perkakas potong, pisau cukur, *stamping tools, dies, punching*, dan sebagainya [8].

Pada penelitian yang telah dilakukan oleh Wibowo Ndaruhamdi dan Bambang Santoso (2015) tentang akurasi lubang bor hasil proses pengeboran pada material SKD-11, menunjukkan bahwa kinerja *carbide drill* sebagai perkakas potong (*cutting tools*) menunjukkan hasil yang lebih baik pada semua respon dibandingkan dengan *HSS drill*. Akurasi lubang bor (*drilled hole*) yang terbaik pada semua respon permesinan yaitu pada laju pemakanan (*feed rate*) yang terendah bernilai 0,01 mm/rev dengan menggunakan *carbide drill* [4].

Pada penelitian yang dilakukan Anang Ansyori dan Rudi Saputra tentang pengaruh diameter mata bor 10 mm, 12 mm dan 14 mm jenis pahat HSS terhadap

kehalusan permukaan lubang proses permesinan bor Magnesium AZ31, menunjukkan bahwa diameter pahat bor cenderung memberikan pengaruh pada nilai kehalusan permukaan lubang bor. Diameter yang memiliki nilai terbaik yaitu pahat Ø14 mm variasi *feed* 0,10 mm/rev, 0,18 mm/rev, 0,24 mm/rev menghasilkan nilai kekasaran berturut-turut yaitu 0,49 μm , 0,61 μm , dan 0,73 μm . Nilai kekasaran permukaan paling tinggi terjadi pada Ø12 mm dengan *feed* 0,24 mm/rev dengan hasil nilai kekasaran yaitu 1,24 μm [9].

Pada penelitian yang di lakukan Gusri dkk tentang analisa kekasaran permukaan dan kebulatan paduan magnesium dengan jenis pahat HSS Ø12 mm pada permesinan *drill* yang menggunakan metode taguchi, menunjukkan hasil bahwa lubrikasi (pelumas) adalah parameter yang berpengaruh secara signifikan pada kekasaran permukaan dan kebulatan lubang proses permesinan *drill* paduan magnesium. Sedangkan hasil yang terbaik adalah menggunakan pelumas dengan MQL minyak kelapa sawit dengan kecepatan putar yang tinggi yaitu 890 rpm, *feed* yang rendah yaitu 0,1 mm/rev, dan titik sudut besar yaitu 65° [10].

Pada penelitian yang dilakukan Syahbuddin dan Tataq Budi Santoso tentang optimasi parameter pemotongan proses *drilling* terhadap kekasaran permukaan dan laju pelepasan material menggunakan metode taguchi pada baja ASTM 36 dengan jenis pahat *carbide* diameter 4,9 mm dan variasi parameter kecepatan potong : 80 m/menit, 100m/menit, 120 m/menit, 140 m/menit serta pemakanan : 0,14 mm/put, 0,15mm/put, 0,16 mm/put. Didapatkan hasil bahwa parameter pemotongan yang menghasilkan nilai kekasaran minimum adalah *cutting speed* 80 m/menit (level 1) dan besar pemakanan 0,15 mm/put (level 2) [11].

1.2 Rumusan Masalah

Dari latar belakang yang sudah dipaparkan, penulis dapat mengidentifikasi rumusan masalah dilakukannya penelitian ini yaitu apakah variabel proses (kecepatan putaran spindel, *feed rate* dan pendingin) dapat mempengaruhi kekasaran permukaan dan bagaimana *setting* variabel proses tersebut agar dapat memberikan hasil nilai kekasaran permukaan yang optimal pada proses *drilling* baja SKD 11.

1.3 Tujuan Penelitian

Tujuan penelitian yaitu mengetahui nilai pengaruh serta *setting* variasi parameter (Kecepatan putaran spindel, *feed rate* dan pendingin) yang tepat agar dapat memberikan hasil nilai kekasaran permukaan lubang bor yang optimal pada mesin CNC dengan menggunakan material jenis SKD 11.

1.4 Batasan Masalah

Agar penelitian ini tidak menyimpang dan terarah, maka ditentukan batasan masalah, diantaranya :

1. Mesin yang digunakan CNC *Milling machine* MORI SEIKI MV-40
2. Benda kerja yang digunakan baja SKD 11 dengan panjang 20 mm dan diameter 25 mm.
3. Alat uji kekasaran permukaan adalah *Portable Surface Roughness Tester* merek Mitutoyo.
4. Alat potong pahat bor jenis *carbide* dengan diameter 12 mm.
5. Parameter yang digunakan yaitu kecepatan putaran spindel (1000 rpm, 1300 rpm, 1600 rpm), *feed rate* (120 mm/menit, 180 mm/menit, 280 mm/menit), dan pendingin (dromus, *mineral oil*, *dry cutting*) .

1.5 Manfaat Penelitian

Setelah penelitian ini selesai diharapkan dapat bermanfaat sebagai :

1. Bahan pembelajaran bagi peneliti yang melakukan penelitian sejenis untuk pengembangan pengetahuan tentang parameter pemesinan dan kekasaran permukaan pada proses *drilling*.
2. Informasi pemilihan variasi parameter seperti kecepatan putaran spindel, *feed rate*, dan variasi pendingin yang tepat agar menghasilkan kekasaran permukaan lubang bor yang optimal dengan menggunakan material jenis SKD 11.

1.6 Sistematika Penulisan

Sistematika penulisan pada penelitian ini adalah sebagai berikut :

1. Bab I. Pendahuluan meliputi latar belakang penelitian, rumusan masalah penelitian, batasan masalah penelitian, tujuan penelitian, manfaat penelitian dan sistematika penulisan yang digunakan pada penelitian.

2. Bab II. Landasan Teori meliputi dasar teori pemesinan bor serta penjelasan berbagai parameter sebagai landasan penelitian.
3. Bab III. Metode Penelitian meliputi alat dan bahan yang digunakan dalam penelitian, pemilihan parameter dan prosedur penelitian.
4. Bab IV. Hasil Dan Pembahasan berisi data-data hasil penelitian serta pembahasan dan analisis yang telah dilakukan.
5. Bab V. Penutup berisi kesimpulan yang diambil dari hasil analisis yang telah dilakukan serta saran.
6. Daftar Pustaka berisi daftar sumber yang dikutip sebagai referensi.
7. Lampiran berisi perhitungan dan perlengkapan laporan penelitian.

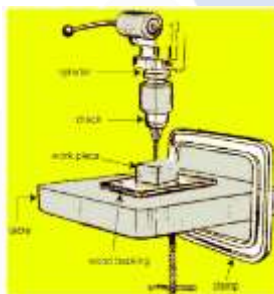
BAB II

DASAR TEORI

2.1 Proses *Drilling*

2.1.1 Pengertian Proses *Drilling*

Proses bor adalah proses pemesinan paling sederhana diantara proses lainnya. Proses pengeboran digunakan untuk pembentukan lubang silindris pada benda kerja dengan alat potong berputar yang disebut mata bor. Penggunaan proses bor terbilang penting di industri. Ada sekitar 25% produksi menggunakan proses pengeboran [3].

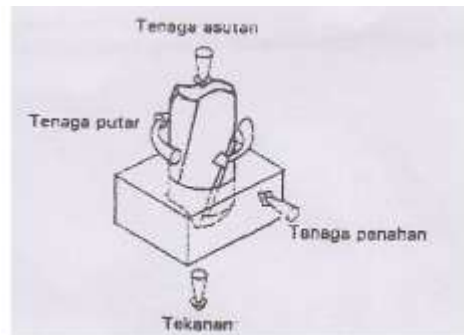


Gambar 2. 1 Proses Drilling [5]

Selama proses pengeboran, beram harus keluar dari lubang memalui alur helix pahat bor. Proses pendingin sulit dilakukan karena ujung mata bor menempel pada benda kerja yang diproses, sehingga biasanya disiram atau disemprotkan dengan *coolant* / pendingin melalui lubang yang ada di bagian tengah pahat. [5].

Sedikit berbeda dengan proses pemesinan lainnya, proses gurdi memiliki karakteristik, yaitu [5] :

- Beram harus keluar
- Teradapat masalah apabila beram yang keluar memiliki ukuran besar atau berkelanjutan.
- Bisa terjadi kesulitan apabila membuat lubang yang dalam pada saat proses pemboran.
- Pendingin disiram ke permukaan potong melewati tengah mata bor pada saat proses pembuatan lubang dalam pada benda kerja yang besar.



Gambar 2. 2 Proses Pengedrillan [12]

2.1.2 Pahat Drill

Pahat *drill* adalah suatu alat yang efektif untuk pembuatan lubang atau alur. Adapun material pahat yang biasa digunakan baik dari material yang cukup lunak maupun material yang paling keras yaitu :

- High Carbon Steel* (Baja karbon tinggi)
- High speed steel* (HSS)
- Paduan cor non logam (*cast nonferrous alloys, cast carbides*)
- Karbida (*cermeted carbides, hardmetals*)
- Keramik
- Cubic Boron Nitride* (CBN)
- Intan (*sintered diamonds, natural diamonds*)

2.1.3 Parameter Proses Permesinan Drill

Terdapat beberapa parameter pada proses permesinan bor, yaitu [5] :

1. Putaran pahat *drill* (n)

Putaran pahat adalah gerakan di mana poros mesin bor. Besarnya putaran spindel yang dibutuhkan ditentukan oleh benda kerja yang akan digunakan, material pahat dan diameter pahat. Satuan putaran pahat adalah rpm.

2 Kecepatan potong (v)

Kecepatan potong disebabkan oleh gerakan rotasi pertama dan beban tertinggi pada mata potong. Kecepatan yang diperbolehkan tergantung pada material pahat dan benda kerja.

$$v = \frac{(\pi d n)}{1000} ; \text{ m/menit}.....(2.1)$$

- a. Minyaknya yang terkandung lebih sedikit (10 – 45% lebih rendah dari jenis emulsi cair)
- b. Memiliki lebih banyak pengemulsi (elemen yang menurunkan tegangan permukaan) daripada cairan sintetis

Unsur minyak dalam cairan ini lebih kecil dan lebih tersebar. Bisa berupa tipe dengan minyak sangat jenuh (*super-fatted*) atau tipe EP (*Extreme Pressure*).

4. *Cutting Oils*

Cutting oils adalah minyak yang tidak dapat diemulsi dan digunakan dalam bentuk encer pada proses permesinan. Minyak murni ini berasal dari salah satu atau lebih minyak bumi, hewan, ikan atau minyak nabati. Viskositasnya tergantung pada penggunaan dan dapat berupa encer sampai kental. Mencampur minyak mentah dengan minyak nabati (hewani) dapat meningkatkan kapasitas pembasahan serta meningkatkan pelumasan. Dengan menambahkan elemen lain seperti sulfur, klorin atau fosfor (*EP additivies*) dapat meningkatkan pelumasan pada suhu dan tekanan tinggi.

Tabel 2. 2 Rekomendasi lubrikan untuk beberapa material

<i>Material</i>	<i>Drilling</i>	<i>Reaming</i>	<i>Tapping</i>	<i>Turning</i>	<i>Threading</i>	<i>Milling</i>
<i>Aluminum</i>	<i>Soluble oil</i>	<i>Soluble oil</i>	<i>Soluble</i>	<i>Soluble</i>	<i>Soluble oil</i>	<i>Soluble oil</i>
	<i>Kerosene</i>	<i>Kerosene</i>	<i>oil</i>	<i>oil</i>	<i>Kerosene</i>	<i>Lard oil</i>
	<i>Lard Oil</i>	<i>Mineral</i>	<i>Mineral</i>		<i>Lard oil</i>	<i>Mineral oil</i>
<i>Brass</i>	<i>Dry</i>	<i>Soluble oil</i>	<i>Soluble</i>	<i>Soluble</i>	<i>Soluble oil</i>	<i>Soluble oil</i>
	<i>Soluble oil</i>	<i>Dry</i>	<i>oil</i>	<i>oil</i>	<i>Lard oil</i>	<i>Dry</i>
	<i>Kerosene</i>		<i>Lard oil</i>			
	<i>Lard oil</i>					
<i>Bronze</i>	<i>Dry</i>	<i>Soluble oil</i>	<i>Soluble</i>	<i>Soluble</i>	<i>Soluble oil</i>	<i>Soluble oil</i>
	<i>Soluble oil</i>	<i>Lard oil</i>	<i>oil</i>	<i>oil</i>	<i>Lard oil</i>	<i>Dry</i>
	<i>Lard oil</i>	<i>Dry</i>	<i>Lard oil</i>			
	<i>Mineral oil</i>			<i>Dry</i>		
<i>Cast iron</i>	<i>Dry</i>	<i>Soluble oil</i>	<i>Mineral</i>	<i>Soluble</i>	<i>Dry</i>	<i>Dry</i>
	<i>Soluble oil</i>	<i>Mineral</i>	<i>oil</i>	<i>oil</i>	<i>Soluble oil</i>	<i>Soluble oil</i>
	<i>Dry jet</i>	<i>oil</i>	<i>Lard oil</i>	<i>Mineral</i>		
			<i>Lard oil</i>	<i>oil</i>		
				<i>Lard oil</i>		<i>Dry</i>
<i>Copper</i>	<i>Dry</i>	<i>Soluble oil</i>	<i>Soluble</i>	<i>Soluble</i>	<i>Soluble oil</i>	<i>Soluble oil</i>
	<i>Soluble oil</i>	<i>Lard oil</i>	<i>oil</i>	<i>oil</i>	<i>Lard oil</i>	<i>Dry</i>
	<i>Lard oil</i>	<i>Dry</i>	<i>Lard oil</i>			
	<i>Kerosene</i>			<i>Dry</i>		
	<i>Mineral oil</i>					
<i>Malleable Iron</i>	<i>Dry</i>	<i>Dry</i>	<i>Soluble</i>	<i>Soluble</i>	<i>Lard oil</i>	<i>Dry</i>
	<i>Soda water</i>	<i>Soda water</i>	<i>oil</i>	<i>oil</i>	<i>Soda water</i>	<i>Soda water</i>
<i>Monel metal</i>	<i>Soluble oil</i>	<i>Soluble oil</i>	<i>Mineral</i>	<i>Soluble</i>	<i>Lard oil</i>	<i>Soluble oil</i>
	<i>Lard oil</i>	<i>Lard oil</i>	<i>oil</i>	<i>oil</i>		
			<i>Sulfurized</i>			
			<i>oil</i>			
<i>Steel alloys</i>	<i>Soluble oil</i>	<i>Soluble oil</i>	<i>Soluble</i>	<i>Soluble</i>	<i>Lard oil</i>	<i>Mineral oil</i>
	<i>Sulfurized oil</i>	<i>Mineral</i>	<i>oil</i>	<i>oil</i>	<i>Sulfurized</i>	<i>Lard oil</i>
	<i>Mineral oil</i>	<i>oil</i>	<i>Mineral</i>		<i>oil</i>	
	<i>Lard oil</i>	<i>Lard oil</i>	<i>oil</i>			
<i>Steel forging low carbon</i>	<i>Soluble oil</i>	<i>Soluble oil</i>	<i>Soluble</i>	<i>Soluble</i>	<i>Soluble oil</i>	<i>Soluble oil</i>
	<i>Sulfurized oil</i>	<i>Mineral</i>	<i>oil</i>	<i>oil</i>	<i>Mineral</i>	<i>Mineral oil</i>
	<i>Lard oil</i>	<i>oil</i>	<i>Lard oil</i>		<i>oil</i>	<i>Lard oil</i>
	<i>Mineral oil</i>	<i>Lard oil</i>			<i>Lard oil</i>	
<i>Tool steel</i>	<i>Soluble oil</i>	<i>Soluble oil</i>	<i>Mineral</i>	<i>Soluble</i>	<i>Lard oil</i>	<i>Soluble oil</i>
	<i>Sulfurized oil</i>	<i>Sulfurized</i>	<i>oil</i>	<i>oil</i>	<i>Sulfurized</i>	<i>Lard oil</i>
	<i>Mineral oil</i>	<i>oil</i>	<i>Sulfurized</i>		<i>oil</i>	
	<i>Lard oil</i>	<i>Lard oil</i>	<i>oil</i>			

Sumber : [5]

2.3 Kekasaran Permukaan

Kekasaran permukaan adalah ketidakteraturan bentuk dan penyimpangan sifat permukaan dalam bentuk guratan, yang akan dilihat nanti pada profil

permukaan. Hal ini disebabkan oleh berbagai faktor seperti mekanisme parameter pemotongan, geometri dan dimensi pahat, cacat material, serta cacat aliran *chips*. Kekasaran permukaan sangat memberi pengaruh terhadap kualitas produk yang dihasilkan [7].

Cara mengukur kekasaran pada permukaan adalah menggunakan alat uji kekasaran permukaan. Jarum (stylus) alat uji diatur sehingga pada posisi stabil dan tegak lurus dengan permukaan benda uji. Setelah stylus stabil, tekan tombol start pada alat untuk mengambil data nilai kekasaran dan stylus akan bergerak terus menerus [13].



Gambar 2. 3 Posisi profil [14]

Dilihat dari gambar 2.3 posisi profil satu panjang sampel, menunjukkan parameter permukaan yang terkait dengan dimensi vertikal dan lateral. Untuk arah vertikal diketahui beberapa parameter [14] :

1. Kekasaran total R_t (μm) ialah jarak antara profil referensi dengan profil dasar
2. Kekasaran total R_p (μm) ialah jarak rata-rata antara profil referensi dan profil yang diukur.
3. Kekasaran rata-rata aritmatik R_a (μm) ialah rata-rata aritmatik dari nilai absolut jarak antara profil yang diukur dan profil tengah.
4. Kekasaran rata-rata kuadratik R_g (μm) ialah akar dari jarak kuadrat rata-rata antara profil yang diukur dan profil tengah.
5. Kekasaran total rata-rata R_z (μm) ialah jarak antara profil dasar ke profil yang diukur terhadap lima puncak tertinggi yang dikurangi jarak rata-rata profil dasar ke profil yang diukur pada lima lembah terendah.

Kekasaran rata-rata (Ra) maksimum yang diizinkan ditunjukkan dengan lambang segitiga. Satuan harus disesuaikan dengan satuan panjang (metrik atau inchi) dalam gambar teknik. Apabila diperlukan nilai minimum kekasaran Ra, maka nilai ditulis dibawah angka kekasaran maksimum [2].

Sedangkan nilai kekasaran permukaan (*roughness number*) dan panjang sampel standar dibagi menjadi 12 nilai kelas dapat dilihat pada Tabel 2.3 *roughness number* dibawah ini.

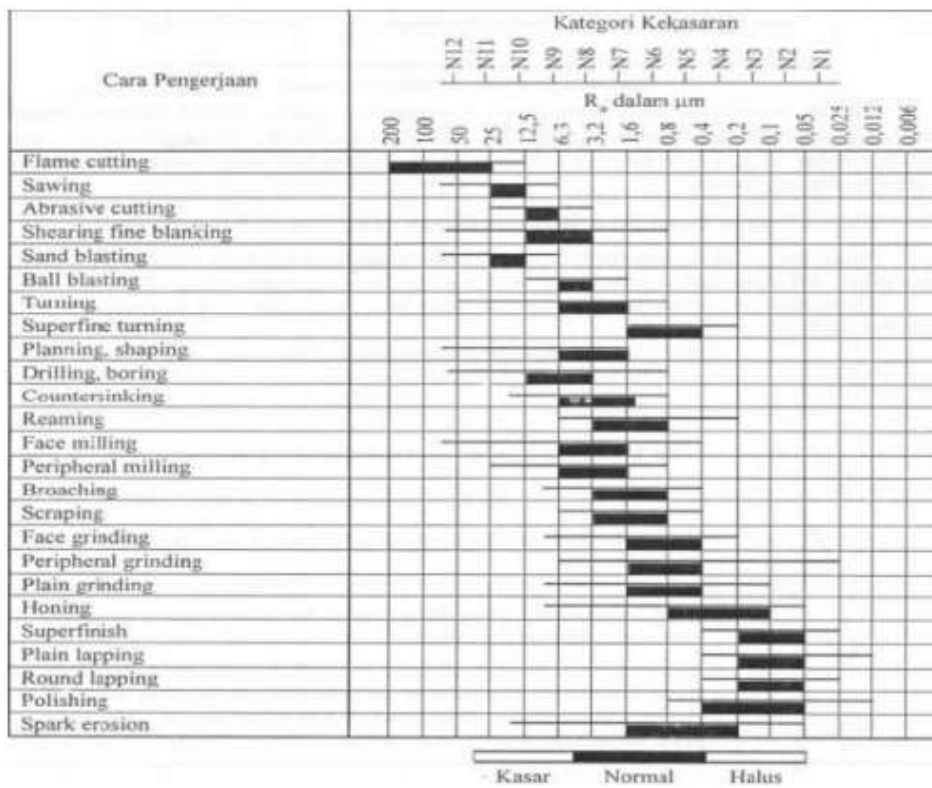
Tabel 2. 3 *roughness number*

Kekasaran Ra (μm)	Tingkat Kekasaran	Panjang sampel (mm)
50	N12	8
25	N11	
12,5	N10	2,5
6,3	N9	
3,2	N8	0,8
1,6	N7	
0,8	N6	
0,4	N5	
0,2	N4	0,25
0,1	N3	
0,05	N2	
0,025	N1	0,8

Sumber : [15]

Angka kekasaran dirancang untuk menghindari kesalahan dalam nilai kekasaran. Oleh karena itu, spesifikasi dapat langsung ditulis ke dalam nilai numerik dengan menuliskan angka kekasaran ISO. Sesuaikan panjang sampel dengan jumlah kekasaran permukaan. Jika panjang sampel tidak ditampilkan dalam penulisan lambang, itu artinya panjang sampel 0,8 mm (jika proses diprediksi halus hingga sedang) dan 2,5 mm (jika proses diprediksi kasar). Tabel 2.4 di bawah ini memberikan nilai kekasaran rata-rata berdasarkan proses penggerjaannya [2].

Tabel 2. 4 Objek penggerjaan akhir proses pemesinan



Sumber : [13]

Untuk menentukan objek pada penggerjaan akhir proses pemesinan yang dilakukan dengan proses *drilling*, berdasarkan tabel 2.3 diatas, menunjukkan nilai Ra yang di standarkan harus mencapai nilai $0,8 - 3,2 \mu\text{m}$ untuk kualitas permukaan yang dihasilkan.

2.4 Material Benda Kerja

Baja adalah paduan Besi (Fe) dan kandungan Karbon (C) tidak lebih dari 2%. Di industri dan manufaktur, baja adalah material yang sering digunakan dalam kontruksi berat maupun kontruksi mesin dikarenakan memiliki sifat mekanik yang lebih baik daripada besi. Berikut sifat baja :

- a. Tangguh dan kuat
- b. Mudah ditempa dan mudah diproses
- c. Sifatnya dapat berubah dengan mengubah karbon dan perlakuan panas
- d. Kandungan karbon lebih rendah dibandingkan besi

e. Banyak digunakan untuk bahan peralatan

Namun baja juga memiliki kekurangan yaitu rentan mengalami korosi apabila kandungan besi (Fe) pada baja bersentuhan dengan Oksigen (O₂) [16].

2.4.1 Baja SKD-11

Material SKD-11 merupakan salah satu grade dari kelompok material jenis baja perkakas (*tool steel*) yang mengacu pada standart *JIS (Japanese Industrial Standards)*. Baja SKD-11 ini secara umum digunakan dalam komponen-komponen dari perkakas yang diperlakukan dengan penggerjaan dingin (*cold working*), diantaranya adalah *cold and pressing dies, jig and fixture*, serta produk sejenisnya [4].

Baja SKD-11 adalah baja yang memiliki kualitas tinggi, ketahanan aus yang baik, kuat tekan yang tinggi, stabilitas dimensi dan merupakan material yang tangguh. Komposisi kimia dari baja ini yaitu C1 55%, Cr 11,60%, Mo 0,80%, Mn 0,30% dan Si 0,30% [17].

2.5 Pengujian Homeogenitas dan Normalitas

1. Homogenitas

Uji homogenitas ini dirancang untuk memenuhi apakah nilai residual memiliki distribusi data yang sama. Ini dilakukan (secara visual) dengan memeriksa grafik e_i terhadap Y_i . Uji homeogenitas terpenuhi jika data terdistribusi secara acak (sekitar garis nol) dan tidak menunjukkan suatu pola. [18].

Menentukan F_{tabel} dengan taraf signifikan 5% dan $dk = n - 1$

Kriteria pengujian :

- Apabila nilai $sig \geq 0.05$ artinya homogen
- Apabila nilai $sig \leq 0.05$ artinya tidak homogen

2. Normalitas

Plot probabilitas Normal pada statistik dapat digunakan untuk merepresentasikan residul apakah respon memiliki distribusi normal atau tidak. *Shapiro wilk normality test* digunakan untuk menguji kenormalan residul. Digunakan hipotesis, yaitu [18]:

H_0 : residul memiliki distribusi normal

H_1 : residul tidak memiliki distribusi normal

Tolak H_0 apabila $p = \text{value} < \alpha = 0,05$

2.6 ANAVA (Analisis Variansi)

Analisis variansi (ANAVA) adalah metode yang memungkinkan menguji perubahan pengaruh suatu faktor atau variabel sampel yang diambil. Analisis variansi digunakan untuk menentukan apakah sampel memiliki kesamaan. ANAVA juga digunakan untuk menemukan ada tidaknya pengaruh dari setiap variabel kontrol ke sebuah proses. Dan besarnya pengaruh diketahui dengan membandingkan jumlah nilai kuadrat (*sum of square*) variabel kontrol dengan seluruh variabel kontrol [13]. Persamaan/rumus yang digunakan untuk menghitung jumlah kuadrat, rata-rata kuadrat, derajat kekebebasan, dan nilai F ditunjukkan dibawah ini :

1. Sum of square/jumlah kuadrat :

$$SS_A = \frac{A_1^2}{n_{A_1}} + \frac{A_2^2}{n_{A_2}} + \frac{A_3^2}{n_{A_3}} + \dots \frac{A_n^2}{n_{A_n}} - \frac{T^2}{N}(2.5)$$

Dimana :

A_1 = Jumlah nilai data faktor A level 1

A_2 = Jumlah nilai data faktor A level 2

A_3 = Jumlah nilai data faktor A level 3

n_{A_1} = Banyak data faktor A level 1

n_{A_2} = Banyak data faktor A level 2

n_{A_3} = Banyak data faktor A level 3

T = Jumlah seluruh data

N = Banyak data keseluruhan

2. Derajat kekebebasan (*degree of freedom*)

$$V_a = \text{Banyak level faktor A} - 1(2.6)$$

$$V_t = \text{Total semua level} - 1(2.7)$$

$$V_e = V_t - (V_a + V_b + \dots + V_n)(2.8)$$

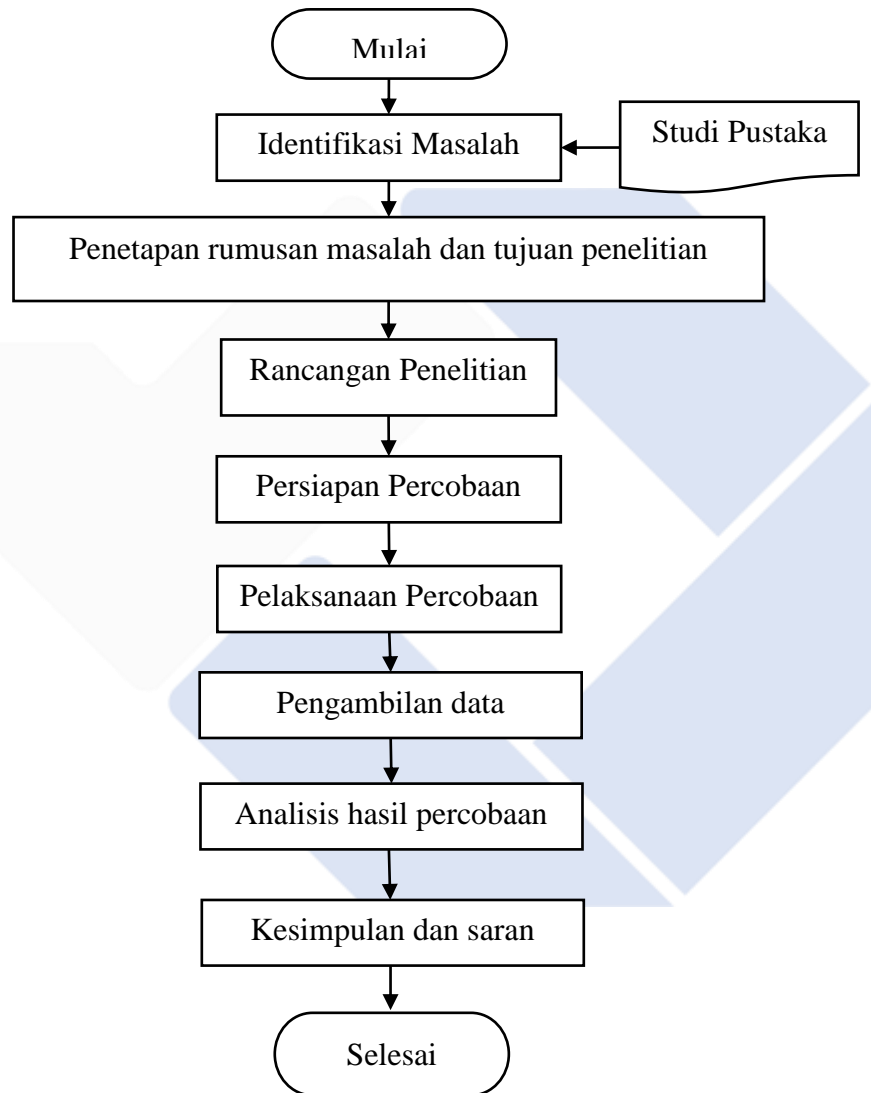
Dimana :

BAB III

METODE PENELITIAN

3.1 Tahapan Penelitian / *Flowchart*

Langkah penyelesaian dalam penelitian ini dilakukan sesuai dengan *flowchart* yang ditunjukan oleh gamber 3.1 di bawah ini:



Gambar 3. 1 Diagram Alir Penelitian

Metodologi penelitian dipaparkan menjadi beberapa tahapan dan setiap tahap akan dijelaskan melalui langkah-langkah yang dilakukan.

3.1.1 Identifikasi Masalah

Identifikasi masalah dalam penelitian ini adalah langkah awal yang penting. Proses yang dilakukan adalah dengan mengetahui permasalahan yang diamati. Didasarkan hal tersebut, peneliti melakukan pencarian data-data sebagai pendukung penelitian. Data tersebut bisa didapatkan dengan observasi, membaca literatur atau melakukan survei awal.

3.1.2 Studi Pustaka

Proses yang dilakukan peneliti adalah mengumpulkan data awal dengan kajian literatur dari beberapa sumber seperti jurnal ilmiah, artikel, buku, internet, e-book dan lainnya. Hal ini bertujuan untuk menambah data atau informasi yang diperlukan pada penelitian ini. Fungsi dari studi literatur adalah untuk mengetahui masalah yang dihadapi, serta untuk membuat encana kerja yang akan di hadapi.

3.1.3 Rumusan Masalah dan Tujuan Penelitian

Rumusan masalah serta tujuan penelitian harus jelas secara teknis agar dapat dimasukkan pada percobaan yang dilakukan. Tujuan penelitian adalah jawaban dari masalah yang telah dirumuskan.

3.1.4 Rancangan Penelitian

Rancangan/desain penelitian adalah kerangka dasar di mana penelitian menentukan kegiatan pengumpulan informasi terhadap terhadap objek yang mempunyai variasi. Data yang dipakai pada penelitian ini adalah data pertama yang didapatkan dari hasil pengujian. Variabel penelitian adalah segala sesuatu dalam bentuk apapun yang ditetapkan oleh seorang peneliti untuk memperoleh informasi tentang hal tersebut, dilanjutkan dengan menarik kesimpulan [19]. Variabel yang digunakan ialah sebagai berikut :

1. Variabel Bebas (Variable Proses)

Variabel bebas memiliki fungsi yaitu memberi pengaruh atau menentukan munculnya variabel terikat (respon). Variabel bebas pada penelitian ini adalah variasi kecepatan putaran spindel, *feed rate* dan jenis pendingin.

2. Variabel Terikat (Respon)

Variabel terikat adalah variabel yang faktor-faktornya dilihat dan diukur untuk mengetahui pengaruh yang ditimbulkan oleh variabel bebas. Pada penelitian ini, tingkat kekasaran permukaan lubang pada benda kerja hasil proses *drilling* adalah variabel respon.

3. Variabel Kontrol (Variabel Konstan)

Variabel kontrol (konstan) pada penelitian ini adalah :

- Material baja SKD 11
- Pahat *drill carbide* diameter 12 mm
- Alat ukur kekasaran *Surface Roughness Tester*

4. Variabel Gangguan (*Noise*)

Variabel gangguan berpengaruh terhadap variabel terikat (respon), namun sulit dikendalikan. Variabel yang dapat menjadi kendala di penelitian ini ialah tempat pengukuran kekasaran permukaan benda yang akan di uji. Variabel ini tidak termasuk dalam desain penelitian, sehingga pengambilan data dilakukan dengan cara replikasi (pengulangan) sehingga dapat mengatasi dampak gangguan terhadap hasil penelitian.

3.1.5 Rancangan Eksperimen

1. *Setting* Variabel Proses

Penentuan *setting* variabel proses dilakukan berdasarkan data manual mesin. Benda kerja pada penelitian ini adalah baja SKD 11 dengan ukuran diameter 25 mm dan panjang 20 mm. Setting variabel proses dan level variabel dapat dilihat pada tabel 3.1 dibawah ini :

Tabel 3. 1 Setting level variabel proses

Variabel Proses	Satuan	Level (tingkatan)		
		1	2	3
A Putaran <i>spindle</i> (n)	Rpm	1000	1300	1600
B Feed rate (<i>f_r</i>)	mm/menit	120	180	280
C Cairan pendingin	-	Dromus	Mineral	Dry
			Oil	Cutting

2. Desain Eksperimen

Pada penelitian ini digunakan desain eksperimen factorial 3×3 dengan rancangan acak, sehingga jumlah perlakuan adalah 9. faktor yang digunakan putaran spindel variasi 1000 rpm, 1300 rpm, 1600 rpm. *Feed rate* dengan variasi 120 mm/menit, 180 mm/menit dan 280 mm/menit dan pendingin dengan variasi dromus, *mineral oil* dan *dry cutting*. Pada eksperimen ini diperlukan 9 kondisi eksperimen dengan 3 kali pengulangan.

Tabel 3. 2 Spesimen Pengujian Benda Kerja

No	Putaran <i>Spindle</i>	<i>Feed rate</i>	Cairan	Hasil Nilai
			pendingin	Kekasaran
1	1000	120	Dromus	
2	1000	180	<i>Mineral oil</i>	
3	1000	280	<i>Dry cutting</i>	
4	1300	120	<i>Mineral oil</i>	
5	1300	180	<i>Dry cutting</i>	
6	1300	280	Dromus	
7	1600	120	<i>Dry cutting</i>	
8	1600	180	Dromus	
9	1600	280	<i>Mineral Oil</i>	

3.1.6 Persiapan Percobaan

1. Alat

Peralatan yang digunakan pada penelitian ini adalah :

- Mesin CNC *Milling*

Mesin CNC yang digunakan pada penelitian ini ialah mesin CNC *Milling* Mori Seiki MV-40M. Gambar 3.2 menunjukkan mesin CNC merk Mori Seiki MV-40M dan tabel 3.3 menunjukkan spesifikasi mesin.



Gambar 3. 2 Mesin CNC Milling Mori Seiki MV-40M

Tabel 3. 3 Spesifikasi Mesin CNC Milling MORI SEIKI MV-40M

<i>Merk</i>	:	MORI SEIKI MV-40 M
<i>Spesifikasi Travel</i>		
• <i>X-axis Travel</i>	:	560 mm (22.05 in)
• <i>Y-axis Travel</i>	:	410 mm (16.14 in)
• <i>Z-axis Travel</i>	:	460 mm (18.11 in)
<i>Spesifikasi Table</i>		
• <i>Working surface</i>	:	900 x 450 mm (33.43 x 17.72 in)
• <i>Table loading capacity</i>	:	300 kg (660 lb)
<i>Spesifikasi Spindle</i>		
• <i>Maximum spindle speed</i>	:	8000 rpm [10000 rpm, 12000 rpm]
• <i>Type of spindle taper hole</i>	:	7/2 taper, No.40
<i>Feedrate</i>		
• <i>Rapid traverse rate (X-axis, Y-axis)</i>	:	20000 mm/min (787.40 ipm)
• <i>Rapid traverse rate (Z-axis)</i>	:	12000 mm/min (472.44 ipm)
• <i>Feedrate (X-axis, Y-axis, Z-axis)</i>	:	1 – 5000 mm/min (0.01 – 196.85 ipm)
• <i>Jog feedrate</i>	:	0 – 1260 mm/min (0 – 50 ipm) 15 steps

- Pahat *drill carbide*

Pahat *drill carbide* adalah pahat yang digunakan untuk membuat lubang pada benda uji penelitian. Diameter pahat pada penelitian ini

adalah diameter 12. Gambar 3.3 menunjukkan pahat *drill carbide* diameter 12.



Gambar 3. 3 Pahat *drill carbide*

- Alat Uji Kekasaran

Kekasaran permukaan suatu benda kerja dapat diukur menggunakan alat *surface roughness tester* dan alat uji yang digunakan pada penelitian ini menggunakan merk Mitutoyo.



Gambar 3. 4 *Surface roughness tester*

2. Bahan / Material Spesimen Uji

Material pada penelitian ini ialah Baja SKD 11 dengan diameter 25 mm dan panjang 20 mm. Baja SKD 11 adalah jenis baja karbon tinggi dikarenakan kandungan karbonnya 1,55%. Baja SKD 11 ialah jenis baja perkakas yang berkualitas tinggi, *hardenability* dan kekuatan tekan yang tinggi, ketahanan aus yang baik, serta stabilitas dimensi dan termasuk material tangguh.

3.1.7 Pelaksanaan Percobaan

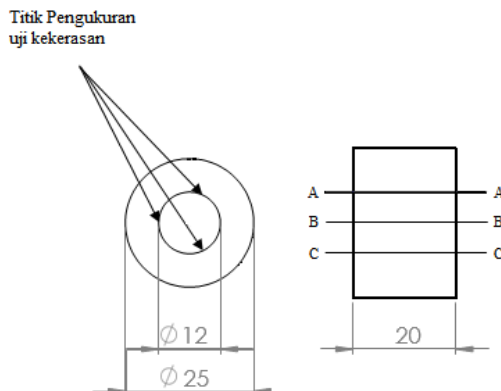
Berikut ini langkah-langkah proses *drilling* pada baja SKD 11 dengan proses permesinan CNC *Milling* menggunakan *setting* parameter yang telah ditentukan.

1. Mempersiapkan benda kerja dan peralatan yang akan dipakai seperti pahat/alat potong.
2. Pembuatan program CNC berdasarkan benda kerja yang akan diproses dengan ketentuan variasi, kemudian masukan program yang sudah dibuat sebelumnya pada mesin CNC *Milling*.
3. Memasang pahat *drill* pada mesin CNC *Milling* Mori Seiki MV-40M.
4. Memasang benda uji di ragum mesin CNC *Milling* Mori Seiki MV-40M.
5. Menyalakan mesin CNC *Milling* Mori Seiki MV-40M dan lakukan penyetelan variabel proses.
6. Lakukan proses pemesinan terhadap benda kerja berdasarkan variasi parameter yang telah ditentukan.
7. Lakukan pengulangan pada semua benda kerja sesuai dengan variasi parameter yang telah ditentukan.
8. Matikan mesin CNC *Milling* Mori Seiki MV-40M lalu lepaskan benda kerja pada cekam mesin.

3.1.8 Pengukuran dan Pengambilan Data

1. Pengukuran

Data kekasaran permukaan benda uji didapatkan dari hasil pengukuran pada permukaan benda kerja yang sudah di proses secara langsung menggunakan *surface roughness tester* Mitutoyo SJ-400. Pengukuran kekasaran permukaan terdiri dari pengaturan alat dan benda, penentuan *sampling lenght* dan pengukuran.



Gambar 3. 5 Titik pengujian benda kerja

Berikut langkah-langkah pengukuran menggunakan *surface roughness tester* Mitutoyo SJ-400 :

- 1) Lepaskan *drive unit* dari *display unit* dan hubungkan dengan kabel koneksi khusus. Lalu kalibrasi alat ukur *surface roughness tester*.
- 2) Ukur panjang benda kerja menggunakan jangka sorong. Lalu letakkan benda kerja yang akan diuji pada dudukan V Block, sesuaikan tinggi alat ukur kekasaran permukaan dengan benda uji.
- 3) Atur jumlah sampel (n) pada kondisi pengukuran
- 4) Pastikan bahwa keadaan detektor tetap dalam keadaan yang benar.
- 5) Kembali ke tampilan utama pada *display unit*. Kemudian tekan tombol [START/STOP]
- 6) Tunggu sampai detektor berhenti bergerak. Lalu catat hasil pengukuran dan simpan data pengukuran.
- 7) Pengukuran dilakukan sebanyak tiga kali pada setiap spesimen. Ulangi langkah tersebut pada titik pengukuran yang berbeda.

2. Pengambilan Data

Kekasaran rata-rata aritmatika (R_a) dihitung dari rata-rata nilai absolut jarak antara profil yang diukur dan profil pusat. Dalam perhitungan R_a , area di bawah pusat (lembah) diproyeksikan keatas dan dirata-ratakan dengan area diatas profil tengah.

$$R_a = \frac{1}{n} \sum y (\mu m) (3.1)$$

Pengambilan data dilakukan dengan melakukan percobaan variasi kecepatan putaran *spindle*, *feed rate* dan cairan pendingin. Tujuan utama pada penelitian ini ialah mengetahui berapa besar pengaruh variasi terhadap kekasaran permukaan.

3.1.9 Analisis Data

Bagian ini melakukan kegiatan seperti pengumpulan, akurasi, perhitungan dan penyajian data dilakukan dalam tata letak tertentu sesuai dengan rancangan eksperimen yang dipilih. Teknik yang dipakai dalam analisis data adalah statistik

deskriptif atau teknis analisis data, yang meliputi penafsiran hasil penelitian dalam bentuk tabel, bagan dan grafik.

Analisis yang dilakukan adalah dengan menggunakan metode *analysis of variance* (ANAVA) untuk menentukan parameter pemesinan memiliki pengaruh tersebesar pada kekasaran permukaan.

3.1.10 Kesimpulan

Pada tahap ini adalah tahap terakhir penelitian dimana peneliti melakukan pengambilan kesimpulan dari analisis hasil pengujian yang sudah dilakukan.



BAB IV

HASIL DAN PEMBAHASAN

4.1 Pengambilan Data

Proses pengambilan data dilakukan dengan mengkombinasikan variabel-variabel proses pada mesin CNC *Milling MORI SEIKI MV-40M*. Adapun variabel proses yang diduga dapat memberi pengaruh terhadap nilai kekasaran permukaan yaitu kecepatan spindel (A), *feed rate* (B), pendingin (C). Setelah data pengujian didapatkan, maka dilakukan pengolahan data dengan menggunakan metode eksperimen yang dilakukan perhitungan secara manual dan menggunakan *software* Statistik. Beberapa langkah dalam pengambilan data adalah sebagai berikut :

4.2.1 Pengukuran Kekasaran Permukaan

Pengukuran kekasaran benda kerja menggunakan alat ukur *surface roughness tester*. Data yang didapatkan dari hasil percobaan dapat dilihat pada Tabel 4.1 dibawah :

Tabel 4. 1 Data Hasil Percobaan

Eks.	Faktor			Replikasi			Mean
	A	B	C	1	2	3	
1	1	1	1	1,120	1,133	1,078	1,110
2	1	2	2	1,567	1,597	1,523	1,562
3	1	3	3	2,011	2,006	2,020	2,012
4	2	1	2	1,153	1,110	1,205	1,156
5	2	2	3	1,629	1,697	1,708	1,678
6	2	3	1	1,665	1,410	1,519	1,531
7	3	1	3	0,978	0,954	1,020	0,984
8	3	2	1	1,190	1,132	1,078	1,133
9	3	3	2	1,587	1,562	1,592	1,580

Pengaruh level dari faktor terhadap rata-rata kekasaran permukaan dapat dihitung. Tahap selanjutnya dilakukan perhitungan untuk rata-rata respon setiap faktor, yaitu:

Perhitungan rata-rata untuk Faktor A (Kecepatan Spindel)

$$A1 = 1/3 (1,110 + 1,562 + 2,012) = 1,561$$

$$A2 = 1/3 (1,156 + 1,678 + 1,531) = 1,455$$

$$A3 = 1/3 (0,984 + 1,133 + 1,580) = 1,232$$

Perhitungan rata-rata untuk Faktor B (*Feed rate*)

$$B1 = 1/3 (1,110 + 1,562 + 0,984) = 1,083$$

$$B2 = 1/3 (1,562 + 1,678 + 1,133) = 1,458$$

$$B3 = 1/3 (2,012 + 1,531 + 1,581) = 1,708$$

Perhitungan rata-rata untuk Faktor C (Pendingin)

$$C1 = 1/3 (1,110 + 1,531 + 1,133) = 1,258$$

$$C2 = 1/3 (1,562 + 1,156 + 1,580) = 1,433$$

$$C3 = 1/3 (2,012 + 1,678 + 0,984) = 1,558$$

4.2.2 Penentuan Kombinasi Variabel untuk Respon Optimal

Untuk ketiga faktor yang diamati yaitu kecepatan spindel, feed rate dan pendingin. Adapun faktornya dapat dilihat pada Tabel 4.2.

Tabel 4. 2 Respon rata-rata dari pengaruh faktor

Simbol Parameter	Parameter Proses	Level	Level	Level
		1	2	3
A	Putaran Spindel	1,561	1,455	1,232
B	<i>Feed rate</i>	1,083	1,458	1,708
C	Pendingin	1,258	1,433	1,558
Total nilai rata-rata =		1,416		

Berdasarkan nilai rata-rata kekasaran permukaan untuk setiap level variabel proses, sehingga didapatkan nilai kombinasi dari variabel proses yang memberi hasil respon optimal. Kombinasi variabel untuk respon terbaik ditunjukkan pada Tabel 4.3.

Tabel 4. 3 Kombinasi variabel proses untuk respon optimal

Variabel Proses	Tingkat Level	Nilai Level
A Putaran spindel	3	1600 rpm
B Feed rate	1	120 mm/menit
C Pendingin	1	Dromus

Sumber : Hasil perhitungan

4.2.3 Analisis Variansi

ANAVA berfungsi untuk mengidentifikasi variabel proses yang mempunyai kontribusi dalam mengurangi variasi respon kekasaran permukaan terhadap benda kerja.

Model analisis yang digunakan adalah analisis ANOVA dua arah (*two way anova*) meliputi perhitungan derajat bebas, jumlah kuadrat, rata-rata jumlah kuadrat, dan F rasio.

$$SS_A = \left[\sum_i^{KA} 1 \left[\frac{A_{Ai}}{n_{Ai}} \right] \right] - \frac{T^2}{N} (4.1)$$

Dimana :

K_A = Jumlah level faktor A

A_i = level ke 1 faktor A

n_{Ai} = Jumlah percobaan level ke i faktor A

T = Jumlah seluruh nilai data

n = Banyaknya data keseluruhan

Perhitungan Jumlah Kuadrat (sum of square) Faktor A :

$$SS_A = \frac{A1^2}{n_{A1}} + \frac{A2^2}{n_{A2}} + \frac{A3^2}{n_{A3}} - \frac{T^2}{N}$$

Perhitungan *sum of square* faktor A :

$$SS_A = \frac{4,684^2}{3} + \frac{4,365^2}{3} + \frac{3,697^2}{3} - \frac{12,746^2}{9} = 0,1691$$

Derajat kebebasan :

$$V_A = 3 - 1 = 2$$

Rata-rata kuadrat (*mean square*) :

$$MS_A = \frac{SS_A}{V_A} = \frac{0,1691}{2} = 0,0845$$

Jumlah kuadrat total :

$$\begin{aligned} SST &= \sum Y^2 \\ &= (1,110^2) + (1,562^2) + (2,012^2) \dots \dots \dots (1,580^2) \\ &= 18,96441 \end{aligned}$$

Jumlah kuadrat karena rata-rata (*mean*) :

$$\begin{aligned} SS_m &= n \cdot \bar{Y}^2 \\ &= 9 \times (1,41622^2) \\ &= 18,05117 \end{aligned}$$

Jumlah kuadrat error :

$$\begin{aligned} SS_{\text{faktor}} &= SS_A + SS_B + SS_c \\ &= 0,1691 + 0,5924 + 0,1362 \\ &= 0,8978 \end{aligned}$$

Residual Error :

$$\begin{aligned} SS_e &= SS_T - SS_m - SS_{\text{faktor}} \\ &= 18,96441 - 18,05117 - 0,8978 \\ &= 0,015446 \end{aligned}$$

$$\begin{aligned}
 F \text{ rasio} &= \frac{SS_A}{SS_e} \\
 &= \frac{0,1691}{0,015446} \\
 &= 10,9499
 \end{aligned}$$

Perhitungan Jumlah Kuadrat (*sum of square*) Faktor B :

$$SS_B = \frac{B1^2}{n_{B1}} + \frac{B2^2}{n_{B2}} + \frac{B3^2}{n_{B3}} - \frac{T^2}{N}$$

Perhitungan *sum of square* faktor B :

$$SS_B = \frac{3,250^2}{3} + \frac{4,373^2}{3} + \frac{5,123^2}{3} - \frac{12,746^2}{9} = 0,5924$$

Derajat kebebasan :

$$V_B = 3 - 1 = 2$$

Rata-rata kuadrat (*mean square*) :

$$MS_B = \frac{SS_B}{V_B} = \frac{0,5924}{2} = 0,2962$$

Jumlah kuadrat total :

$$\begin{aligned}
 SST &= \sum Y^2 \\
 &= (1,120^2) + (1,562^2) + (2,012^2) \dots \dots \dots (1,580^2) \\
 &= 18,96441
 \end{aligned}$$

Jumlah kuadrat karena rata-rata (*mean*) :

$$\begin{aligned}
 SS_m &= n \cdot \bar{Y}^2 \\
 &= 9 \times (1,41622^2) \\
 &= 18,05117
 \end{aligned}$$

Jumlah kuadrat error :

$$\begin{aligned}
 SS_{\text{faktor}} &= SS_A + SS_B + SS_c \\
 &= 0,1691 + 0,5924 + 0,1362 = 0,8978
 \end{aligned}$$

Residual Error :

$$\begin{aligned}
 SS_e &= SS_T - SS_m - SS_{faktor} \\
 &= 18,96441 - 18,05117 - 0,8978 \\
 &= 0,015446
 \end{aligned}$$

$$\begin{aligned}
 F \text{ rasio} &= \frac{SS_B}{SS_e} \\
 &= \frac{0,5924}{0,015446} \\
 &= 38,355
 \end{aligned}$$

Perhitungan Jumlah Kuadrat (*sum of square*) Faktor C :

$$SS_C = \frac{C1^2}{n_{B1}} + \frac{C2^2}{n_{B2}} + \frac{C3^2}{n_{B3}} - \frac{T^2}{N}$$

Perhitungan *sum of square* faktor C :

$$SS_C = \frac{3,774^2}{3} + \frac{4,298^2}{3} + \frac{4,674^2}{3} - \frac{12,746^2}{9} = 0,1362$$

Derajat kebebasan :

$$V_C = 3 - 1 = 2$$

Rata-rata kuadrat (*mean square*) :

$$MS_C = \frac{SS_C}{V_C} = \frac{0,1362}{2} = 0,0681$$

Jumlah kuadrat total :

$$\begin{aligned}
 SST &= \sum Y^2 \\
 &= (1,120^2) + (1,562^2) + (2,012^2) \dots \dots \dots (1,580^2) \\
 &= 18,96441
 \end{aligned}$$

Jumlah kuadrat karena rata-rata (*mean*) :

$$\begin{aligned}
 SS_m &= n \cdot \bar{Y}^2 \\
 &= 9 \times (1,41622^2) = 18,05117
 \end{aligned}$$

Jumlah kuadrat error :

$$SS_{\text{faktor}} = SS_A + SS_B + SS_c$$

$$\begin{aligned}
&= 0,1691 + 0,5924 + 0,1362 \\
&= 0,8978
\end{aligned}$$

Residual Error :

$$\begin{aligned}
SS_e &= SS_T - SS_m - SS_{faktor} \\
&= 18,96441 - 18,05117 - 0,8978 \\
&= 0,015446
\end{aligned}$$

$$MS_e = \frac{SS_e}{V_e} = \frac{0,015446}{2} = 0,0077$$

$$\begin{aligned}
F \text{ rasio} &= \frac{SS_c}{SS_e} \\
&= \frac{0,1362}{0,015446} \\
&= 8,8192
\end{aligned}$$

$$\begin{aligned}
SS_{Total} &= SS_A + SS_B + SS_c + SS_e \\
&= 0,1691 + 0,5924 + 0,1362 + 0,015446 \\
&= 0,9132
\end{aligned}$$

Hasil perhitungan ANAVA terhadap nilai rata-rata ditunjukkan pada Tabel 4.4.

Tabel 4.4 Analisis Variansi Rata-Rata Kekasaran Permukaan

Faktor	V	SS	MS	F-rasio
A	2	0,1691	0,0846	10,95
B	2	0,5924	0,2962	38,35
C	2	0,1362	0,0681	8,82
Error	2	0,015446	0,0077	
Total	8	0,9132		

4.2 Perhitungan Rasio S/N Dari Respon

Signal-to-noise dirancang untuk melakukan perubahan data yang berulang kedalam suatu nilai ukuran variasi keluar. Harga S/N didasarkan pada tipe karakteristik kualitas setiap respon. Berikut perhitungan nilai rasio S/N :

$$S/N = -10 \log\left[\frac{1}{3}(Y_i^2)\right]$$

Dimana :

Y_i = Nilai kekasaran permukaan benda hasil pengamatan

n = Jumlah replikasi (pengulangan)

Karakteristik kualitas sebagai sasaran peningkatan kualitas memaksimalkan variabilitas kekasaran permukaan benda kerja. Kualitas ukuran kekasaran benda kerja yang diharapkan adalah kekasaran minimum. Semakin kecil nilai kekasaran permukaan maka akan semakin baik (*smaller is better*).

Dalam penelitian ini, nilai yang diharapkan ialah kekasaran permukaan benda kerja yang terkecil. Perhitungan S/N dilakukan dengan pengulangan 3 kali :

Pada eksperimen 1

$$S/N = -10 \log\left[\frac{1}{3}(1,120^2 + 1,133^2 + 1,078^2)\right] = -0,9110$$

Pada eksperimen 2

$$S/N = -10 \log\left[\frac{1}{3}(1,567^2 + 1,597^2 + 1,523^2)\right] = -3,8771$$

Pada eksperimen 3

$$S/N = -10 \log\left[\frac{1}{3}(2,011^2 + 2,006^2 + 2,020^2)\right] = -6,0740$$

Pada eksperimen 4

$$S/N = -10 \log\left[\frac{1}{3}(1,153^2 + 1,110^2 + 1,205^2)\right] = -1,2640$$

Pada eksperimen 5

$$S/N = -10 \log\left[\frac{1}{3}(1,629^2 + 1,697^2 + 1,708^2)\right] = -4,4977$$

Pada eksperimen 6

$$S/N = -10 \log\left[\frac{1}{3}(1,665^2 + 1,410^2 + 1,519^2)\right] = -3,7215$$

Pada eksperimen 7

$$S/N = -10 \log \left[\frac{1}{3} (0,978^2 + 0,954^2 + 1,020^2) \right] = 0,1367$$

Pada eksperimen 8

$$S/N = -10 \log \left[\frac{1}{3} (1,190^2 + 1,132^2 + 1,078^2) \right] = -1,0942$$

Pada eksperimen 9

$$S/N = -10 \log \left[\frac{1}{3} (1,587^2 + 1,563^2 + 1,592^2) \right] = -3,9752$$

Berdasarkan perhitungan yang sudah dilakukan, didapatkan nilai rasio S/N untuk respon kekasaran permukaan masing-masing kombinasi variabel. Hasilnya ditunjukkan pada Tabel 4.5.

Tabel 4. 5 Rasio S/N untuk respon

Eks	Faktor			Replikasi			S/N
	A	B	C	1	2	3	
1	1	1	1	1,120	1,133	1,078	-0,9110
2	1	2	2	1,567	1,597	1,523	-3,8771
3	1	3	3	2,011	2,006	2,020	-6,0740
4	2	1	2	1,153	1,110	1,205	-1,2640
5	2	2	3	1,629	1,697	1,708	-4,4977
6	2	3	1	1,665	1,410	1,519	-3,7215
7	3	1	3	0,978	0,954	1,020	0,1367
8	3	2	1	1,190	1,132	1,078	-1,0942
9	3	3	2	1,587	1,562	1,592	-3,9752
Rata-Rata							-2,8086

4.2.1 Pengaruh Level dari Faktor terhadap Variasi Kekasaran Permukaan

Untuk mengetahui pengaruh level setiap faktor terhadap rata-rata kekasaran permukaan benda kerja maka dilakukan perhitungan untuk rata-rata respon setiap faktor, yaitu:

$$A1 = 1/3((-0,9110)+(-3,8771)+(-6,0740)) = -3,6207$$

$$\begin{aligned}
A2 &= \frac{1}{3}((-1,2640)+(-4,4977)+(-3,7215)) = -3,1610 \\
A3 &= \frac{1}{3}((0,1367)+(-1,0942)+(-3,9752)) = -1,6442 \\
B1 &= \frac{1}{3}((-0,9110)+(-1,2640)+(0,1367)) = -0,6794 \\
B2 &= \frac{1}{3}((-3,8771)+(-4,4977)+(-1,0942)) = -3,1563 \\
B3 &= \frac{1}{3}((-6,0740)+(-3,7215)+(-3,9752)) = -4,5902 \\
C1 &= \frac{1}{3}((-0,9110)+(-3,7215)+(-1,0942)) = -1,9098 \\
C2 &= \frac{1}{3}((-3,8771)+(-1,2640)+(-3,9752)) = -3,0387 \\
C3 &= \frac{1}{3}((-6,0740)+(-4,4977)+(0,1367)) = -3,478
\end{aligned}$$

Untuk faktor utama yang diamati yaitu putaran spindel, *feed rate*, dan pendingin pengaruhnya dilihat pada Tabel 4.7.

Tabel 4. 6 Respon Rasio S/N kekasaran permukaan

	A	B	C
Level 1	-3,6207	-0,6794	-1,9098
Level 2	-3,1610	-3,1563	-3,0387
Level 3	-1,6442	-4,5902	-3,4783
Selisih	1,9764	3,9108	1,5694
Ranking	3	1	2

Berdasarkan nilai rasio S/N untuk setiap level variabel proses, didapatkan nilai level untuk kombinasi variabel proses yang menghasilkan respon terbaik. Kombinasi variabel proses untuk respon optimal ditampilkan pada Tabel 4.7.

Tabel 4. 7 Kombinasi untuk respon optimal

Simbol	Variabel Proses	Tingkatan Level	Nilai Level
A	Putaran Spindel	3	1600 rpm
B	<i>Feed rate</i>	1	120 mm/menit
C	Pendingin	1	Dromus

4.2.2 Analisis Varian Rasio S/N

Untuk mencari faktor-faktor yang secara signifikan memberi pengaruh pada nilai rasio *signal-to-noise* dapat dilakukan menggunakan analisis variansi dua arah.

Perhitungan analisis variansi meliputi perhitungan derajat bebas, jumlah kuadrat dan jumlah kuadrat.

Perhitungan *sum of square* (jumlah derajat) Faktor A :

$$SS_A = \frac{A1^2}{n_{A1}} + \frac{A2^2}{n_{A2}} + \frac{A3^2}{n_{A3}} - \frac{T^2}{N}$$

Perhitungan *sum of square* faktor A :

$$SS_A = \frac{-10,863^2}{3} + \frac{-9,483^2}{3} + \frac{-4,933^2}{3} - \frac{-25,278^2}{9} = 6,419$$

Derajat kebebasan :

$$V_A = 3 - 1 = 2$$

Rata-rata kuadrat (*mean square*) :

$$MS_A = \frac{SS_A}{V_A} = \frac{6,419}{2} = 3,209$$

Jumlah kuadrat total :

$$\begin{aligned} SST &= \sum Y^2 \\ &= (-0,911^2) + (-3,877^2) + (-6,074^2) \dots \dots \dots (-3,975^2) \\ &= 105,4539 \end{aligned}$$

Jumlah kuadrat karena rata-rata (*mean*) :

$$SS_m = n \cdot \bar{Y}^2$$

$$= 9 \times (-2,8086^2)$$

$$= 70,9974$$

Jumlah kuadrat error :

$$\begin{aligned} SS_{\text{faktor}} &= SS_A + SS_B + SS_c \\ &= 6,419 + 23,4861 + 3,9331 \\ &= 33,8383 \end{aligned}$$

Residual Error :

$$\begin{aligned} SS_e &= SS_T - SS_m - SS_{\text{faktor}} \\ &= 105,4539 - 70,9974 - 33,8383 = 0,6180 \end{aligned}$$

$$\begin{aligned}
 F \text{ rasio} &= \frac{SS_A}{SS_e} \\
 &= \frac{6,419}{0,618} \\
 &= 10,386
 \end{aligned}$$

Perhitungan Jumlah Kuadrat (*sum of square*) Faktor B :

$$SS_B = \frac{B1^2}{n_{B1}} + \frac{B2^2}{n_{B2}} + \frac{B3^2}{n_{B3}} - \frac{T^2}{N}$$

Perhitungan *sum of square* faktor B :

$$SS_B = \frac{-2,038^2}{3} + \frac{-9,469^2}{3} + \frac{-13,771^2}{3} - \frac{-25,278^2}{9} = 23,486$$

Derajat kebebasan :

$$V_B = 3 - 1 = 2$$

Rata-rata kuadrat (*mean square*) :

$$MS_B = \frac{SS_B}{V_B} = 23,486 = 3,933$$

Jumlah kuadrat total :

$$\begin{aligned}
 SST &= \sum Y^2 \\
 &= (-0,911^2) + (-3,877^2) + (-6,074^2) \dots \dots \dots (-3,975^2) \\
 &= 105,4539
 \end{aligned}$$

Jumlah kuadrat karena rata-rata (*mean*) :

$$\begin{aligned}
 SS_m &= n \cdot \bar{Y}^2 \\
 &= 9 \times (-2,8086^2) \\
 &= 70,9974
 \end{aligned}$$

Jumlah kuadrat error :

$$\begin{aligned}
 SS_{\text{faktor}} &= SS_A + SS_B + SS_c \\
 &= 6,419 + 23,4861 + 3,9331 \\
 &= 33,8383
 \end{aligned}$$

Residual Error :

$$\begin{aligned} SS_e &= SS_T - SS_m - SS_{faktor} \\ &= 105,4539 - 70,9974 - 33,8383 = 0,6180 \end{aligned}$$

$$\begin{aligned} \text{F rasio} &= \frac{SS_B}{SS_e} \\ &= \frac{23,486}{0,618} \\ &= 38,003 \end{aligned}$$

Perhitungan Jumlah Kuadrat (*sum of square*) Faktor C :

$$SS_C = \frac{C1^2}{n_{C1}} + \frac{C2^2}{n_{C2}} + \frac{C3^2}{n_{C3}} - \frac{T^2}{N}$$

Perhitungan *sum of square* faktor C :

$$SS_C = \frac{-5,727^2}{3} + \frac{-9,116^2}{3} + \frac{-10,435^2}{3} - \frac{-25,278^2}{9} = 3,933$$

Derajat kebebasan :

$$V_C = 3 - 1 = 2$$

Rata-rata kuadrat (*mean square*) :

$$MS_C = \frac{SS_C}{V_C} = \frac{3,933}{2} = 1,966$$

Jumlah kuadrat total :

$$\begin{aligned} SST &= \sum Y^2 \\ &= (-0,911^2) + (-3,877^2) + (-6,074^2) \dots \dots \dots (-3,975^2) \\ &= 105,4539 \end{aligned}$$

Jumlah kuadrat karena rata-rata (*mean*) :

$$\begin{aligned} SS_m &= n \cdot \bar{Y}^2 \\ &= 9 \times (-2,8086^2) \\ &= 70,9974 \end{aligned}$$

Jumlah kuadrat error :

$$SS_{\text{faktor}} = SS_A + SS_B + SS_c$$

$$= 6,419 + 23,4861 + 3,9331 = 33,8383$$

Residual Error :

$$\begin{aligned} \text{SS}_e &= SS_T - SS_m - SS_{faktor} \\ &= 105,4539 - 70,9974 - 33,8383 = 0,6180 \end{aligned}$$

$$\begin{aligned} \text{F rasio} &= \frac{SS_C}{SS_e} \\ &= \frac{3,933}{0,618} = 6,364 \end{aligned}$$

Hasil perhitungan analisis variansi terhadap rasio S/N ditunjukkan pada Tabel 4.8.

Tabel 4. 8 Analisis variansi rasio S/N kekasaran permukaan

Sumber	V	SS	MS	F-rasio
A	2	6,419	3,209	10,386
B	2	23,486	11,743	38,003
C	2	3,933	1,966	6,364
Error	2	0,618	0,309	
Total	8	34,456		

4.3 Pembahasan dan Analisis

Berdasarkan hasil perhitungan sebelumnya, diketahui bahwa kombinasi parameter yang memberi pengaruh terhadap rata-rata dan variansi kekasaran permukaan adalah sama yaitu putaran spindel 1600 rpm, *feed rate* 120 mm/menit dan pendingin jenis dromus.

4.3.1 Hasil Perhitungan Rata-Rata

Berdasarkan perhitungan, rata-rata ANOVA untuk kekasaran permukaan benda kerja dilihat pada Tabel 4.9 yang diolah melalui aplikasi statistik.

Tabel 4. 9 Hasil ANOVA rata-rata

Sumber	Db	Kontribusi	SS	MS	F-Value	P-Value
Putaran Spindel	2	18,52%	0,16913	0,084564	10,92	0,084
<i>Feed Rate</i>	2	64,87%	0,59242	0,296209	38,26	0,025
Pendingin	2	14,92%	0,13622	0,068108	8,80	0,102
<i>Error</i>	2	1,70%	0,01548	0,007741		
Total	8	100,00%	0,91325			

Berdasarkan Tabel 4.9 diatas, diketahui bahwa nilai F_{hitung} feed rate memiliki nilai paling besar yakni 38,26. Maka nilai F_{hitung} dibandingkan dengan nilai F_{tabel} dimana :

Jika $F_{hitung} < F_{tabel}$, artinya tidak ada pengaruh terhadap kekasaran permukaan

Jika $F_{hitung} > F_{tabel}$, artinya ada pengaruh terhadap kekasaran permukaan

Mencari nilai F_{tabel} menggunakan rumus:

$$Df1 = K - 1 \text{ (Pembilang Numerator)}$$

$$Df2 = N - K \text{ (Penyebut Denumerator)}$$

Ket :

K = Jumlah variabel bebas

N = Jumlah percobaan

Maka didapatkanlah nilai $F_{tabel(0,05;2;6)}$ yakni 5,14, sehingga didapatkan nilai F_{hitung} (38,26) $>$ F_{tabel} (5,14). Hal ini menunjukkan bahwa *feed rate* memiliki pengaruh terhadap kekasaran permukaan. Variabel-variabel yang memberikan kontribusi terhadap total variansi dari kekasaran adalah variabel B (*feed rate*) sebesar 64,87 % sebagai kontribusi terbesar, diikuti oleh variabel A (kecepatan spindel) sebesar 18,52%, dan variabel C (pendingin) sebesar 14,92%.

4.3.2 Hasil Perhitungan Rasio S/N

Berdasarkan perhitungan, rata-rata rasio S/N analisis variansi untuk kekasaran permukaan benda kerja ditampilkan pada Tabel 4.10.

Tabel 4. 10 Hasil ANOVA rata-rata rasio S/N

Sumber	Db	Kontribusi	SS	MS	F-Value	P-Value
Putaran Spindel	2	18,63%	6,4185	3,2092	10,42	0,088
Feed rate	2	68,17%	23,4855	11,7427	38,14	0,026
Pendingin	2	11,42%	3,9329	1,9665	6,39	0,135
Error	2	1,79%	0,6157	0,3078		
Total	8	100,00%	34,4522			

Berdasarkan Tabel 4.10, didapatkan bahwa nilai F_{hitung} *feed rate* memiliki nilai paling besar yakni 38,14. Maka nilai F_{hitung} dibandingkan dengan nilai F_{tabel} dimana :

Jika $F_{hitung} < F_{tabel}$, maka tidak ada pengaruh terhadap kekasaran permukaan
Jika $F_{hitung} > F_{tabel}$, maka ada pengaruh terhadap kekasaran permukaan

Mencari nilai F_{tabel} menggunakan rumus:

$$Df1 = K - 1 \text{ (Pembilang Numerator)}$$

$$Df2 = N - K \text{ (Penyebut Denumerator)}$$

Ket :

K = Jumlah variabel bebas

N = Jumlah percobaan

Maka didapatkanlah nilai $F_{tabel(0,05;2;6)}$ yakni 5,14, sehingga didapatkan nilai $F_{hitung} (38,14) > F_{tabel} (5,14)$. Hal ini menunjukkan bahwa *feed rate* memiliki pengaruh terhadap kekasaran permukaan. Variabel-variabel yang memberikan kontribusi terhadap total variansi dari kekasaran adalah variabel B (*feed rate*) sebesar 68,17% sebagai kontribusi terbesar, diikuti oleh variabel A (kecepatan spindel) sebesar 18,63%, dan variabel C (pendingin) sebesar 11,42%.

4.3.3 Analisis

Nilai F_{hitung} yang lebih besar daripada F_{tabel} menandakan bahwa variabel proses berpengaruh secara signifikan terhadap respon. Begitu pula sebaliknya apabila F_{hitung} lebih kecil daripada F_{tabel} maka tidak berpengaruh terhadap kekasaran permukaan. Uji hipotesis yang digunakan untuk H_0 dan H_1 menggunakan distribusi F sebagai berikut :

1. Variabel A (putaran spindel)

$$H_0 = \tau_1 = \tau_2 = 0 \text{ (Perlakuan tidak berpengaruh terhadap kekasaran permukaan)}$$

$$H_1 = \text{paling sedikit ada satu } \tau \neq 0 \text{ (Ada perlakuan yang memberikan pengaruh terhadap kekasaran permukaan)}$$

Kesimpulan : $F_{hitung} = 10,92 > F_{(0,05;2;6)} = 5,14$, maka H_0 ditolak, itu berarti variabel putaran spindel berpengaruh terhadap kekasaran permukaan.

2. Variabel B (*feed rate*)

$H_0 = \beta_1 = \beta_2 = 0$ (Perlakuan tidak berpengaruh terhadap kekasaran permukaan)

$H_1 = \text{paling sedikit ada satu } \beta \neq 0$ (Ada perlakuan yang memberikan pengaruh terhadap kekasaran permukaan)

Kesimpulan : $F_{\text{hitung}} = 38,26 > F_{(0,05;2;6)} = 5,14$, maka H_0 ditolak, itu berarti variabel *feed rate* berpengaruh terhadap kekasaran permukaan.

3. Variabel C (pendingin)

$H_0 = \gamma_1 = \gamma_2 = 0$ (Perlakuan tidak berpengaruh terhadap kekasaran permukaan)

$H_1 = \text{paling sedikit ada satu } \gamma \neq 0$ (Ada perlakuan yang memberikan pengaruh terhadap kekasaran permukaan)

Kesimpulan : $F_{\text{hitung}} = 8,80 > F_{(0,05;2;6)} = 5,14$, maka H_0 ditolak, itu berarti variabel pendingin berpengaruh terhadap kekasaran permukaan.

Kondisi H_0 setiap variabel proses dilihat pada Tabel 4.11 di bawah ini :

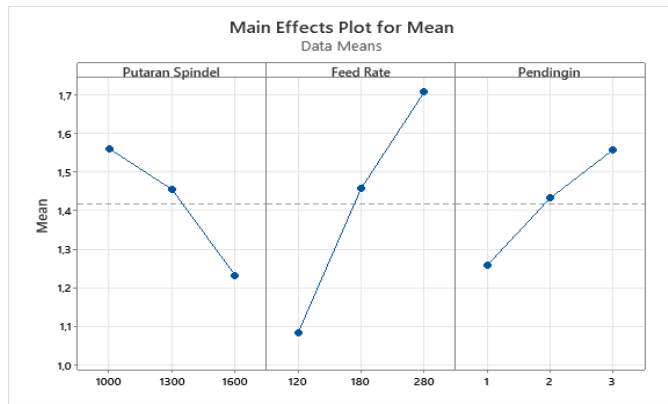
Tabel 4. 11 Kondisi Hipotesis Nol

Sumber variabel	Kondisi H_0
A	Ditolak
B	Ditolak
C	Ditolak

Tabel 4.11 menunjukkan kondisi H_0 secara serentak. Variabel kecepatan spindle, *feed rate*, dan pendingin memberi pengaruh terhadap kekasaran permukaan. Variabel-variabel yang memberikan kontribusi terhadap total variansi dari kekasaran adalah variabel B (*feed rate*) sebesar 64,87% dan 68,17 % sebagai kontribusi terbesar, diikuti oleh variabel A (kecepatan spindel) sebesar 18,52 dan 18,63%, variabel C (pendingin) sebesar 14,92 dan 11,42%.

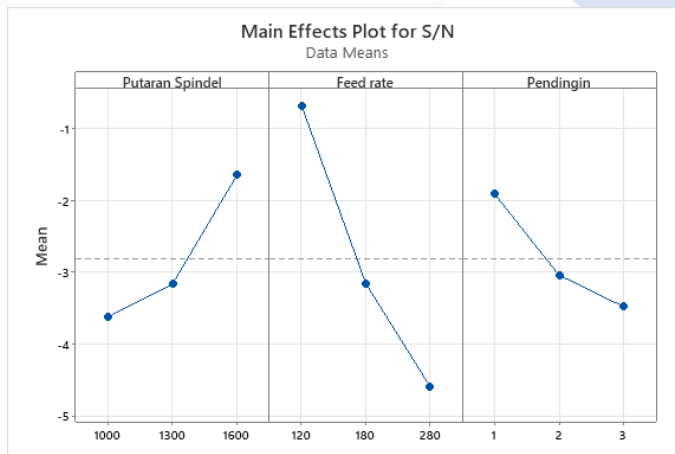
4.3.4 Analisis Grafik

Agar dapat memahami lebih jelas perbandingan pengaruh dari setiap variabel terhadap tingkat kekasaran permukaan ditunjukkan pada plot dibawah ini:



Gambar 4. 1 Plot rata-rata kekasaran permukaan

Berdasarkan gambar plot 4.1, menunjukkan bahwa variabel proses yang berpengaruh pada nilai rata-rata kekasaran permukaan ditunjukkan dengan nilai mean terkecil berturut-turut yaitu *feed rate* level 1 (120 mm/menit), putaran spindel level 3 (1000 rpm) dan pendingin level 1 (dromus).



Gambar 4. 2 Plot rasio S/N untuk kekasaran permukaan

Berdasarkan gambar plot 4.2, menunjukkan bahwa variabel proses yang berpengaruh pada nilai rasio S/N untuk kekasaran permukaan menunjukkan hasil yang sama dengan plot rata-rata kekasaran permukaan yaitu *feed rate* level 1 (120 mm/menit), putaran spindel level 3 (1000 rpm) dan pendingin level 1 (dromus).

BAB V

KESIMPULAN DAN SARAN

5.1 Kesimpulan

Berdasarkan percobaan dan hasil analisis yang sudah dilakukan, maka dari penelitian yang berjudul “Analisis Kekasarhan Permukaan Proses Bor Baja SKD 11 Pada Mesin CNC” didapatkan hasil bahwa kombinasi variabel yang menghasilkan nilai respon optimal adalah putaran spindel 1600 rpm, *feed rate* 120 mm/menit, dan jenis pendingin dromus dengan nilai kekasaran adalah 0,916 μm . Serta variabel yang memberikan pengaruh terhadap rata-rata dari kekasaran permukaan berturut-turut adalah *feed rate* (variabel B) dengan nilai kontribusi paling besar yaitu 64,87% dan 68,17%, diikuti dengan putaran spindel (variabel A) 18,52% dan 18,63% dan nilai kontribusi terendah adalah pendingin (variabel C) dengan nilai 14,92% dan 11,42%.

5.2 Saran

Berikut saran yang dapat diberikan setelah melaksanakan penelitian ini yaitu:

1. Melakukan pengujian serupa dengan menggunakan variasi parameter yang berbeda.
2. Melakukan pengujian serupa dengan menggunakan metode yang berbeda seperti metode *taguchi*.
3. Melakukan pengujian dengan penggunaan material yang berbeda namun dengan proses pemesinan yang sama.

DAFTAR PUSTAKA

- [1] H. S. Rahman, I. f. Rahmad and A. Saleh, "Perancangan Mesin CNC (Computer Numerical Control) Mini Plotter Berbasis Arduino," *IT Journal*, pp. 152-161, 2017.
- [2] M. F. Ilhamsyah, "Pengaruh Variasi Debit dan Jenis Cairan Pendingin Terhadap Kekasaran Permukaan A1 6061 Pada Proses Drilling," *Skripsi*, pp. 1-71, 2015.
- [3] N. Dwijayanti, "Optimasi Multirespon Gaya Tekan, Torsi, Keausan Tepi Pahat dan Kekasaran Permukaan Pada Proses Gurdi Untuk Material EMS-45 Dengan Menggunakan Metode Taguchi-GRA," *Tugas Akhir*, pp. 1-151, 2017.
- [4] P. W. Ndaruhanadi and B. Santosa, "Akurasi Lubang Bor Hasil Proses Pengeboran Pada Material SKD-11," *Prosiding SNIJA*, pp. 191-195, 2015.
- [5] Widarto, Teknik Permesinan Jilid 2, Direktorat Pembinaan Sekolah Menengah Kejuruan, 2008.
- [6] H. Abbas, Y. Bontong and Y. Aminya, "Pengaruh Parameter Pemotongan Pada Operasi Pemotongan Milling Terhadap Getaran dan Tingkat Kekasaran Permukaan (Surface Roughness)," *Proceeding Seminar Nasional Tahunan Teknik Mesin XII (SNTTM XII)*, pp. 971-976, 2013.
- [7] A. Suseno, "Analisis Variasi Metode Pendingin Milling CNC Tipe VMC-L-540 Pada Kekasaran Permukaan S45C Dengan Metode Taguchi," *Skripsi*, pp. 1-69, 2016.
- [8] I. Saputra, N. P. Ariyanto and M. Febri, "Pengaruh Temperatur Tempering Terhadap Pembentukan Struktur Mikro dan Kekerasan Baja SKD 11 Untuk Tool Steel," *Jurnal Teknologi dan Riset Terapan*, pp. 10-13, 2020.
- [9] A. Ansyori and R. Saputra, "Pengaruh Diameter Mata Bor Terhadap Tingkat Kehalusan Permaukaan Lubang Bor Pada Proses Permesinan Bor Magnesium AZ31," *Jurnal Teknik Mesin Universitas Bandar Lampung*, pp. 7-18, 2019.
- [10] G. A. Ibrahim, H. Subagio, A. Hamni and S. M. P. Lestari, "Analisa Kekasaran Permukaan dan Kebulatan Pada Permesinan Drill Paduan Magnesium Menggunakan Metode Taguchi," *Jurnal Teknik Mesin*, pp. 1-8, 2019.
- [11] Syahbuddin and T. B. Santoso, "Optimasi Parameter Pemotongan Proses Drilling Terhadap Kekasaran Permukaan Dan Laju Pelepasan Material Menggunakan Metode Taguchi," *Prosiding KITT (Konferensi Ilmiah Teknologi Texmaco)*, pp. 117-124, 2018.

- [12] M. A. N. Rasyid, "Perbaikan Mesin Drill Bangku Menjadi Gang Drill Dan Penambahan Rangkaian Kelistrikan Dengan Menggunakan Magnetic Contractor di Laboratorium Teknologi Mekanik IST AKPRIND Yogyakarta," *Skripsi*, pp. 1-79, 2020.
- [13] M. F. Burli, "Optimasi Kekasaran Permukaan Proses Drilling Baja SKD 11 Pada CNC Milling Menggunakan Metode Taguchi," *Skripsi*, pp. 1-99, 2021.
- [14] Hadimi, "Pengaruh Perubahan Kecepatan Pemakanan Terhadap Kekasaran Permukaan Pada Proses Pembubutan," *Jurnal Ilmiah Semesta Teknika*, pp. 18-28, 2008.
- [15] T. Rochim, Spesifikasi, Metodolodi, dan Kontrol Kualitas Geometrik, Bandung: ITB PRESS, 2001.
- [16] J. Supriyandi, "Optimasi Kekasaran Proses CNC Turning Baja SKD-11 Dengan Menggunakan Metode Taguchi," *Skripsi*, pp. 1-87, 2021.
- [17] M. G. R. Prasetya and S. Mulyono, "Analisa Pengaruh Variasi Jenis Cairan Pendingin terhadap Kekasaran Permukaan SKD 11 serta Prosedur Perawatannya pada Mesin Milling Konvensional," *Prosiding Seminar Nasional Teknik Mesin Politeknik Negeri Jakarta*, pp. 696-700, 2019.
- [18] M. Nopiansyah, "Analisis Pengaruh Kecepatan Spindle dan Kedalaman Pemakanan Terhadap tingkat kekasaran Permukaan Benda Kerja Hasil Pemesinan Bubut CNC Pada Baja ST41," *Skripsi*, pp. 20-63, 2021.
- [19] Prof.Dr.Sugiyono, Metode Penelitian Kuantitatif, Kualitatif dan R & D, Bandung: ALFABETA, 2010.
- [20] T. Rochim, Teknik Pemesinan, Bandung: ITB, 1993.

LAMPIRAN

Lampiran 1 Daftar Riwayat Hidup

Daftar Riwayat Hidup

Data Pribadi

Nama : Pajar Juliansah
NPM : 1041726
Tempat Tanggal Lahir : Mentok, 12 Juli 1999
Jenis Kelamin : Laki-laki
Prodi/Jurusankelas : D-IV Teknik Mesin dan Manufaktur/ TMM A
Alamat : Gang Bakti 1 Dusun VII, RT005/RW000, Kel.Belo Laut, Kec. Muntok, Kab.Bangka Barat, Prov. Kepulauan Bangka Belitung
Email : pjelrosa22@gmail.com

Riwayat Pendidikan

SD	:	SDN 03 Muntok	Tahun 2005-2011
SMP	:	SMPN 3 Muntok	Tahun 2011-2014
SMK	:	SMKN 1 Muntok	Tahun 2014-2017

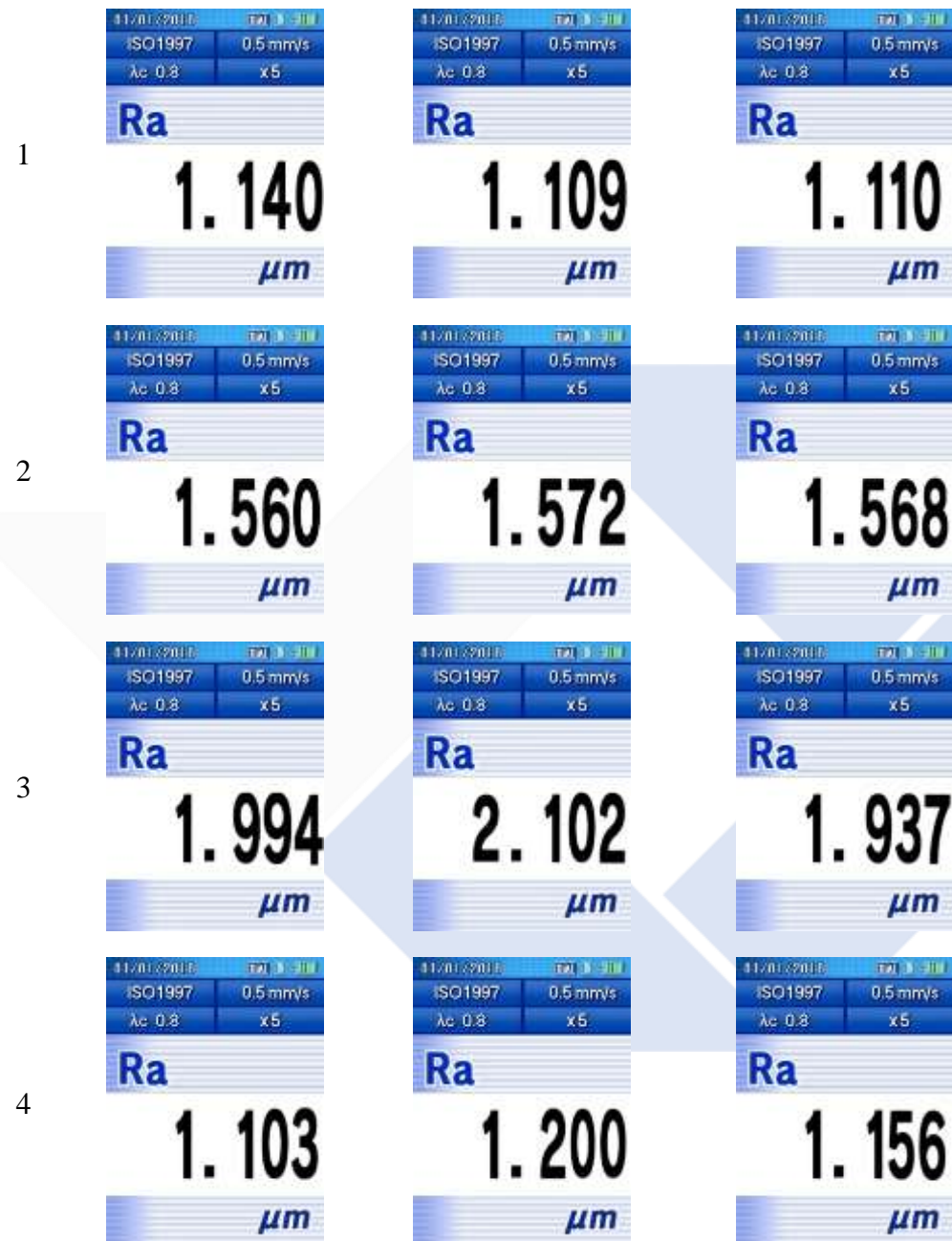
Lampiran 2 Data Hasil Pengukuran Benda kerja

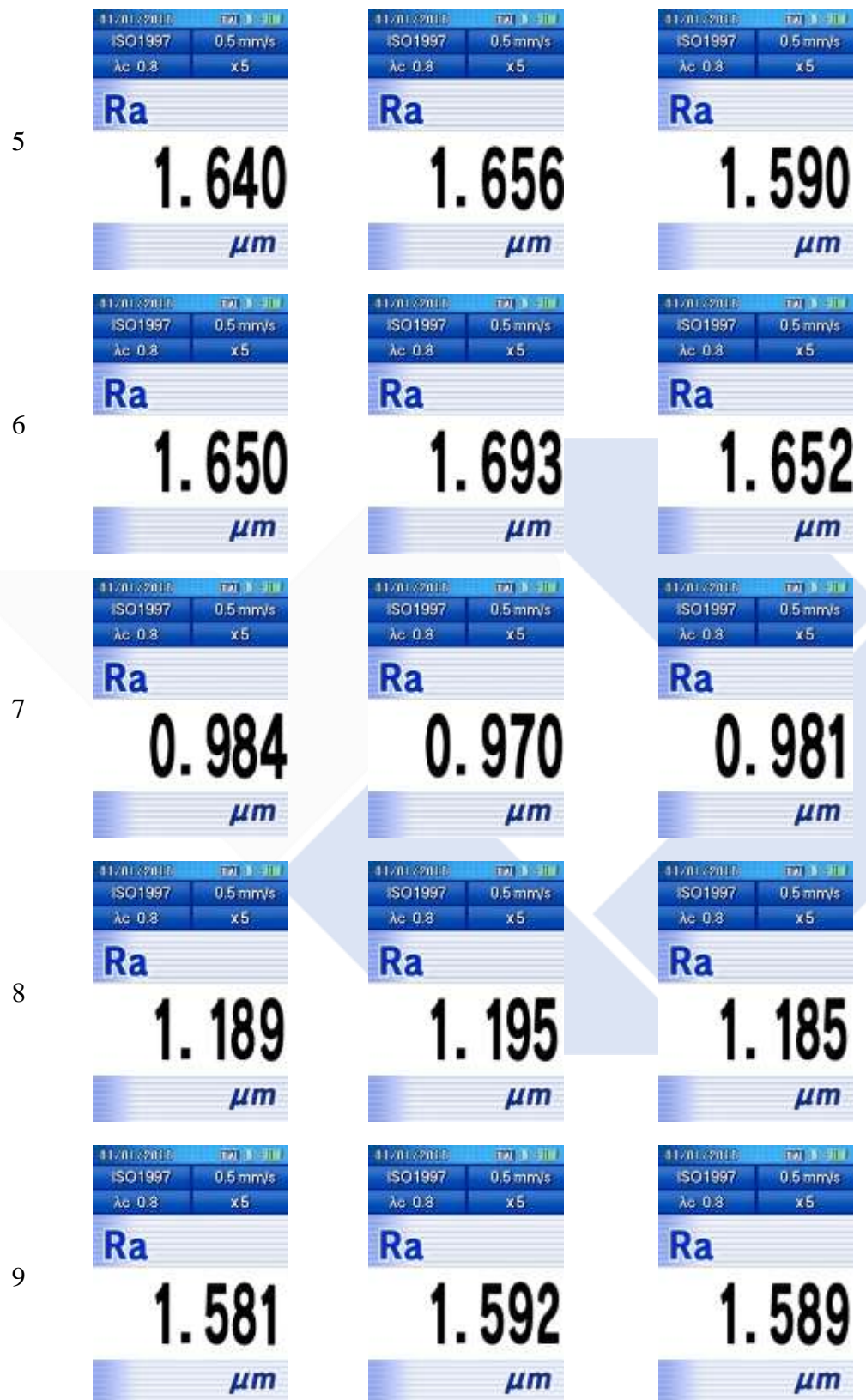
No	Putaran Spindle	Feed rate	Pendingin	Nilai Kekasaran			Mean
				T1	T2	T3	
1	1000	120	1	1,140	1,109	1,110	1,120
2	1000	180	2	1,560	1,572	1,568	1,567
3	1000	280	3	1,994	2,102	1,937	2,011
4	1300	120	2	1,103	1,200	1,156	1,153
5	1300	180	3	1,642	1,656	1,590	1,629
6	1300	280	1	1,650	1,693	1,652	1,665
7	1600	120	3	0,984	0,970	0,981	0,978
8	1600	180	1	1,189	1,195	1,185	1,190
9	1600	280	2	1,581	1,592	1,589	1,587
10	1000	120	1	1,136	1,129	1,135	1,133
11	1000	180	2	1,578	1,642	1,570	1,597
12	1000	280	3	2,011	1,986	2,021	2,006
13	1300	120	2	1,112	1,114	1,105	1,110
14	1300	180	3	1,702	1,690	1,700	1,697
15	1300	280	1	1,396	1,470	1,365	1,410
16	1600	120	3	0,961	0,945	0,956	0,954
17	1600	180	1	1,125	1,143	1,128	1,132
18	1600	280	2	1,595	1,510	1,580	1,562
19	1000	120	1	1,092	1,073	1,069	1,078
20	1000	180	2	1,505	1,567	1,496	1,523
21	1000	280	3	1,998	2,004	2,057	2,020
22	1300	120	2	1,171	1,192	1,253	1,205
23	1300	180	3	1,720	1,710	1,695	1,708
24	1300	280	1	1,525	1,534	1,497	1,519
25	1600	120	3	1,062	0,991	1,008	1,020
26	1600	180	1	1,107	1,130	0,998	1,078
27	1600	280	2	1,598	1,563	1,615	1,592
				1,416			

Sumber : Hasil Pengukuran

REPLIKASI 1

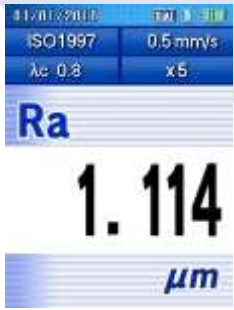
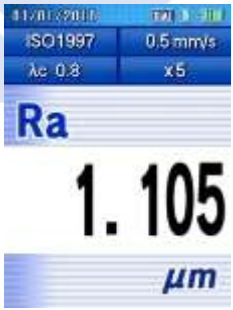
Eks. T1 T2 T3

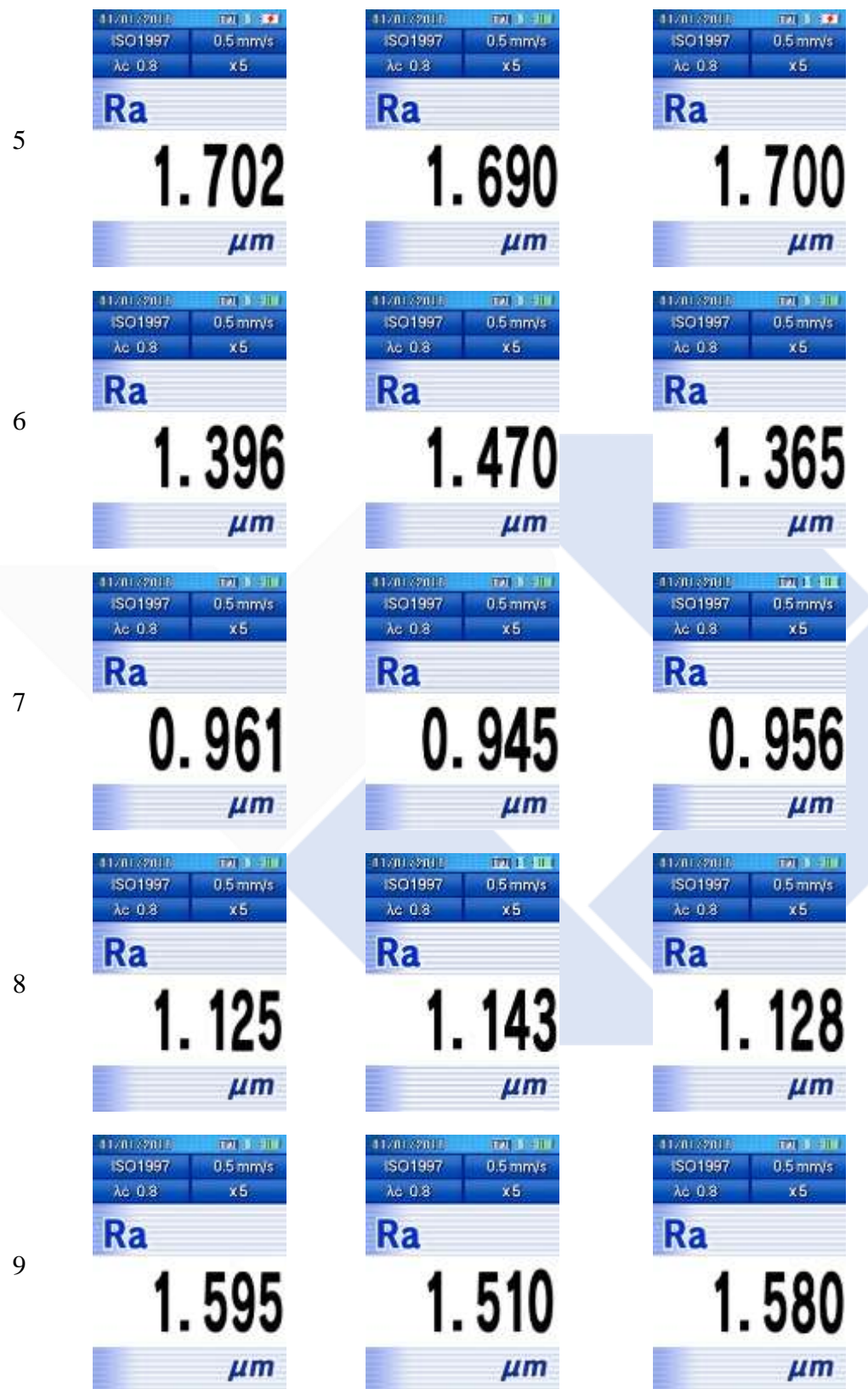




REPLIKASI 2

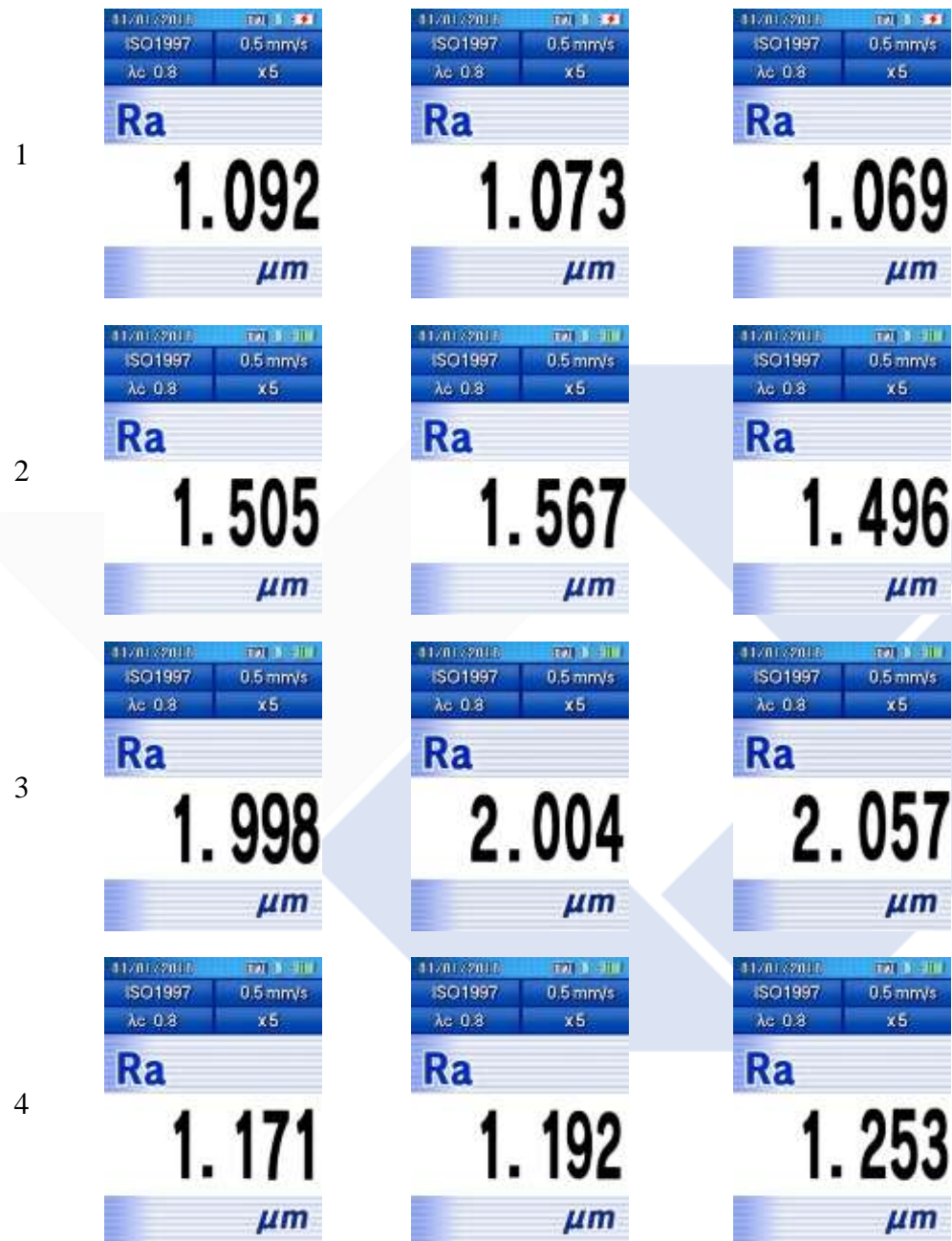
Eks. T1 T2 T3

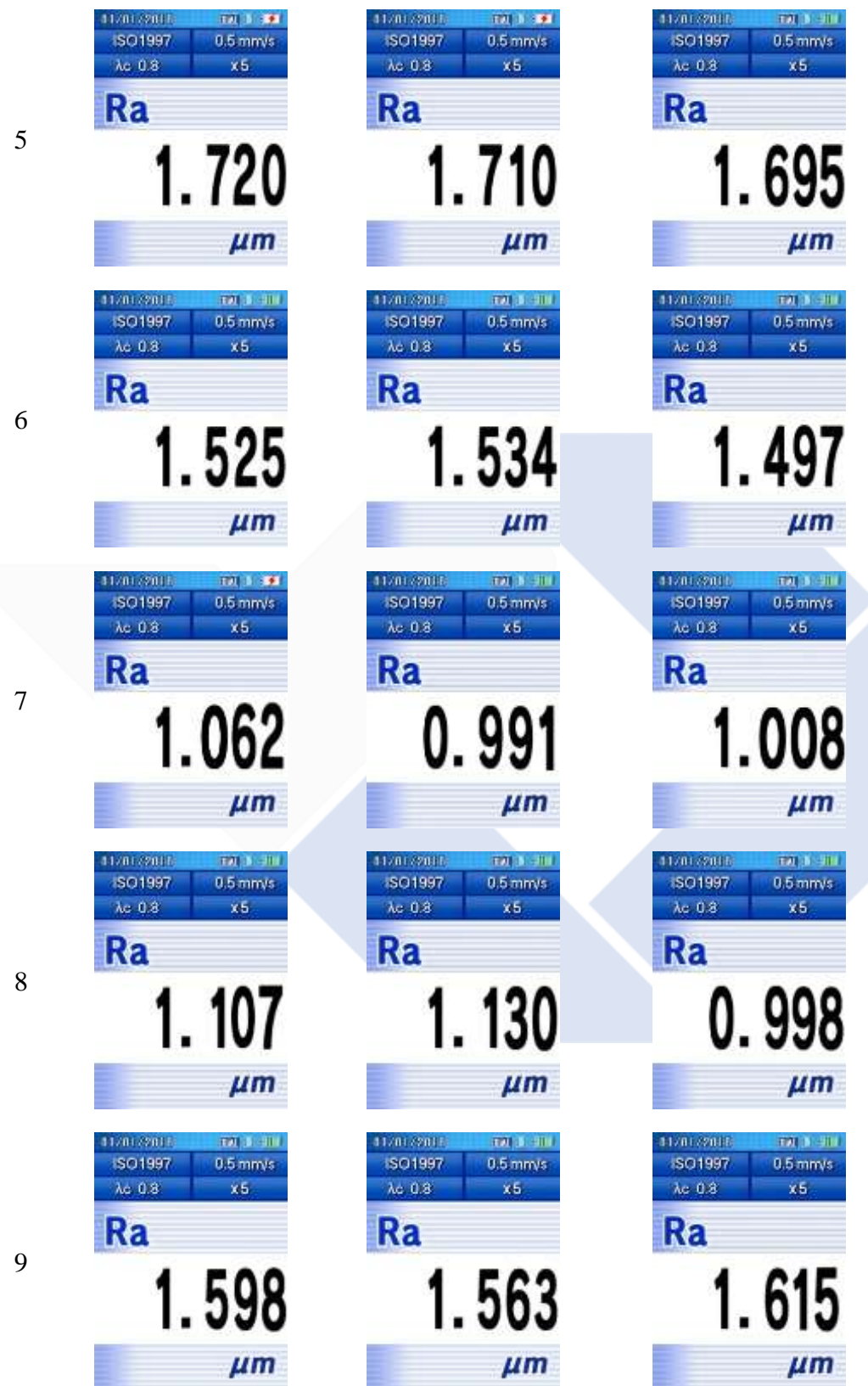
			
1	Ra 1.136 μm	Ra 1.129 μm	Ra 1.135 μm
2			
	Ra 1.578 μm	Ra 1.642 μm	Ra 1.570 μm
3			
	Ra 2.011 μm	Ra 1.986 μm	Ra 2.021 μm
4			
	Ra 1.112 μm	Ra 1.114 μm	Ra 1.105 μm



REPLIKASI 3

Eks. T1 T2 T3





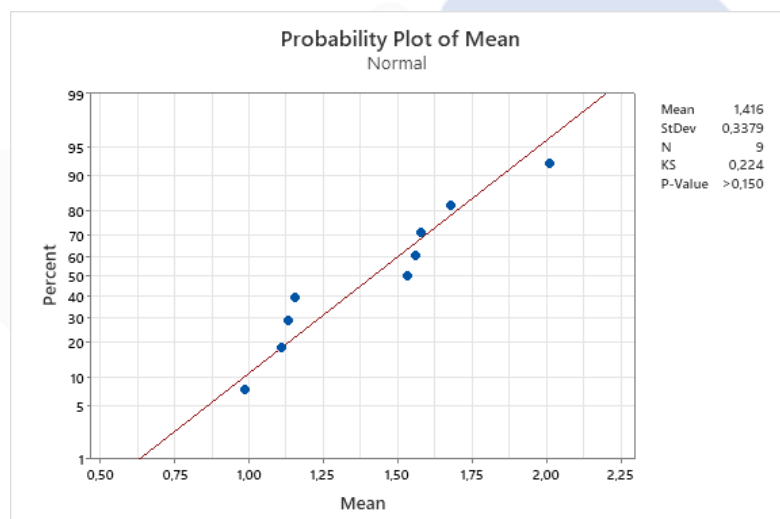
Lampiran 3 Tes normalitas data

Tests of Normality

	Kolmogorov-Smirnov ^a			Shapiro-Wilk		
	Statistic	df	Sig.	Statistic	df	Sig.
Replikasi 1	,210	9	,200*	,923	9	,421
Replikasi 2	,226	9	,200*	,938	9	,566
Replikasi 3	,176	9	,200*	,917	9	,370

*. This is a lower bound of the true significance.

a. Lilliefors Significance Correction



Lampiran 4 Data Analisa

Tabel ANAVA rata-rata kekasarn permukaan

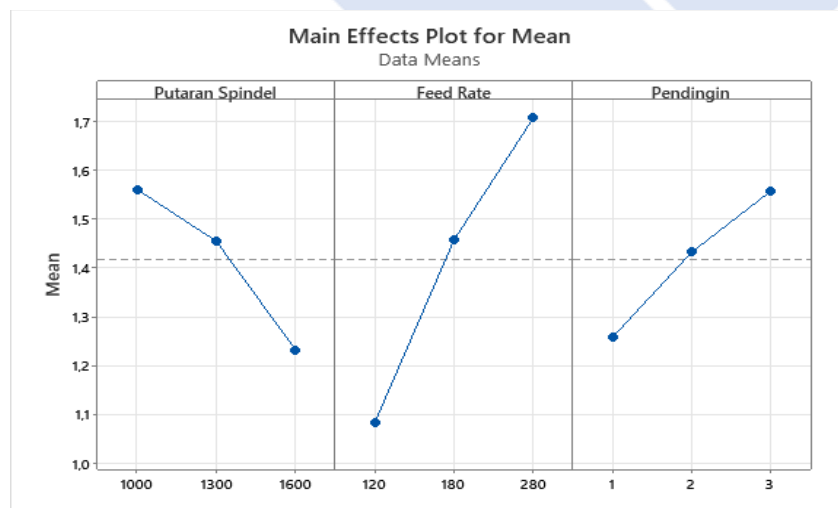
Faktor	V	SS	MS	F-rasio
A	2	0,1691	0,0846	10,95
B	2	0,5924	0,2962	38,35
C	2	0,1362	0,0681	8,82
Error	2	0,015446	0,0077	
Total	8	0,9132		

Sumber : Hasil Perhitungan

Analysis of Variance

Source	DF	Seq SS	Contribution	Adj SS	Adj MS	F-Value	P-Value
RPM	2	0,16913	18,52%	0,16913	0,084564	10,92	0,084
Feed Rate	2	0,59242	64,87%	0,59242	0,296209	38,26	0,025
Pendingin	2	0,13622	14,92%	0,13622	0,068108	8,80	0,102
Error	2	0,01548	1,70%	0,01548	0,007741		
Total	8	0,91325	100,00%				

Hasil ANAVA rata-rata kekasaran menggunakan aplikasi statistik



Plot rata-rata kekasaran permukaan

Tabel ANAVA rasio S/N kekasaran permukaan

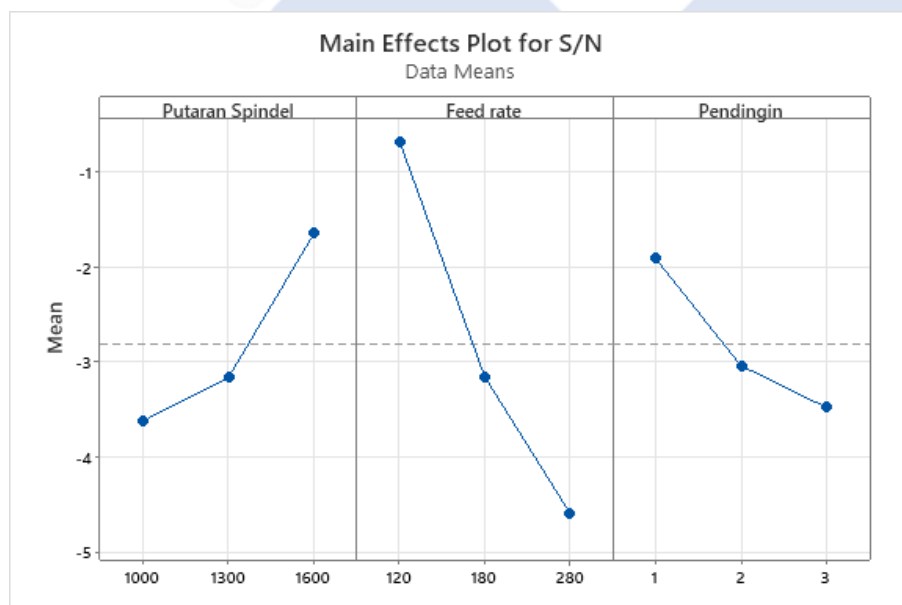
Faktor	V	SS	MS	F-rasio
A	2	6,419	3,209	10,386
B	2	23,486	11,743	38,003
C	2	3,933	1,966	6,364
Error	2	0,618	0,309	
Total	8	34,456		

Sumber : Hasil perhitungan

Analysis of Variance

Source	DF	Seq SS	Contribution	Adj SS	Adj MS	F-Value	P-Value
Putaran Spindel	2	6,4185	18,63%	6,4185	3,2092	10,42	0,088
Feed rate	2	23,4855	68,17%	23,4855	11,7427	38,14	0,026
Pendingin	2	3,9329	11,42%	3,9329	1,9665	6,39	0,135
Error	2	0,6157	1,79%	0,6157	0,3078		
Total	8	34,4526	100,00%				

Hasil ANAVA rasio S/N rata-rata kekasaran menggunakan aplikasi statistik



Plot rata-rata S/N kekasaran permukaan

**上海精炼进出口有限公司
CERTIFICATE OF QUALITY FOR STEEL PRODUCT**
钢材质量证明书

INVOICE NO./CONTRACT NO.: ISSD190299-2

編號 ITEM	THE CROWN 鋼種	SIZE (mm) 規格	STEEL GRADE 鋼級	TEST No. 試驗號	UTS 屈服強度	Yield stress 屈服強度	MATERIAL STATUS 交貨地點	CHEMICAL COMPOSITION				結晶裂紋 CREEPING TEST
								C	Ni	Mn	P	
2	722830	25	SKD11	4-11B	18	232	BLACK	1.521	0.32	0.489	0.022	0.011 11.15 0.215 0.831
3												
4												
5												
6												
7												
機械性能：MECHANICAL PROPERTIES												
TEST NO. 試件號	YIELD 屈服強度	ELONGATION 延伸率 %	CONTRACTURE 收縮 %	(kg/mm ²) MPa	(%)	TEST NO. 試驗號	TEST DATE 試驗日期	ROUNDED ROUND OFF	CHARACTERISTICS CHARAC 物理性質	STRUCTURE STRUCTURE 顯微組織	ORIGIN SOURCE ORIGIN 來源	REPORTING UNIT TESTING
1												SEP 1921-24 D/d
2												OK
3												OK
4												OK
5												OK
6												OK
7												OK
高倍組織：MICROSCOPIC STRUCTURE												
MAINED STRUCTURE: 主結構		CARBIDE LAYER IDENTIFICATION: 碳化物層分析		NON METALLIC INCLUSIONS PIECE: 非金屬夾杂物 樣品		TEST NO. 試驗號		TEST DATE 試驗日期		TESTER 試驗員		REMARKS 備註
1				A	B	C	D					
2												
3												
4												
5												
6												
註：在開口呼，請標明鋼號、批號、規格、發貨日期、廠牌，并附留該狀態的實物，由示賣者證明書原件。 NOTE: WHEN THERE'S ANY COMPLAINT, YOU ARE KINDLY REQUESTED TO MARK THE STEEL GRADE, HEAT NO, SPECIFICATION, DELIVERY DATE, REASON AND REMARK: THE MATERIAL IN DELIVERY CONDITION												
BAOSTOOL INDUSTRIES CO., LTD. 上海精炼进出口有限公司 寶嘉得												

BW CUT EP-523

Neat cutting, grinding fluid

Description EP-523 is high performance mineral oil-based, included oily improver and E/P additives, neat cutting fluids for general cutting processing.

Performance

1. It has an excellent lubricity - reduction of friction/wear, built-up edge, sticking
2. Improvement of roughness, extension of tool life
3. It has a good lubricity, odor, anti-oxidative ability

Characteristics

Items	Specification		Results	Test method
	Min	Max		
Appearance, conc	-	-	Light yellow transparent	-
Specific gravity, 15/4°C	0.86	0.90	0.88	ASTM D1122
Viscosity, 40°C, mm ² /s	21.7	25.3	23.0	ASTM D445
Flash point, COC, °C	176	216	196	ASTM D92
Copper corrosion, 100°C, 1hr	-	-	Max 2	ASTM D130

* Above test results are new fluid's typical properties, can be changed by quality improvement.

Application
Ferrous metals : Drilling, Milling, Tapping, Grinding etc.
Non-ferrous metals: Turning, Milling, Drilling, etc.
Using the concentrate as it is.

Term of validity 12 months from the date of manufacture at sealed state, 0 to 40 °C.

Quality Certificate KS 2 species No.4 by KS M 2173

Composition

Material	Content(%)	Remarks
Mineral oil	85	
Fatty oil	5	
Others	10	

Approved By



Yang Daeseok

Technical Manager

2011년 9월 20일 화요일

The information contained and the recommendations made in this data sheet are based upon data collected and believed by us to be correct. However, no guarantee or warranty of any kind, expressed or implied, is made herein with respect to the merchandise described and we assume no responsibility for the results or the use thereof.

page 1 of 1



BUHMWOO CHEMICAL IND. CO., LTD.

International Business Department of Bumwoo Chemical Industrial Company Limited
Bumnyoung Building, 70-3, Yangjae-dong, Seocho-gu, Seoul, Korea
tel : +82-2-571-5229

EP-523

**DH404, DH423, DH443,
DH424, DH444 SERIES**

without COOLANT HOLES

Vc = m/min
RPM = rev/min.
FEED = mm/min.

ISO	VDI 3323	Material Description	Vc Parameter	Drill Diameter (mm)		Vc Parameter	Drill Diameter (mm)				
				1.0	2.0		3.0	4.0	5.0	6.0	
P	2	Non-alloy steel	70 FEED 003-0.05	22280 005-0.07	11140 005-0.07	100 FEED 006-0.12	10610 008-0.14	7960 014-0.20	6370 016-0.22	5310 016-0.22	
	3		70 FEED 003-0.05	22280 005-0.07	11140 005-0.07	100 FEED 006-0.12	10610 008-0.14	7960 014-0.20	6370 016-0.22	5310 016-0.22	
	4		70 FEED 003-0.05	22280 005-0.07	11140 005-0.07	100 FEED 004-0.10	10610 007-0.13	7960 010-0.16	6370 012-0.18	5310 012-0.18	
	5		60 FEED 003-0.05	19100 005-0.07	9550 005-0.07	80 FEED 004-0.10	8490 007-0.13	6370 010-0.16	5090 012-0.18	4240 012-0.18	
	6	low alloy steel	70 FEED 003-0.05	22280 005-0.07	11140 005-0.07	100 FEED 006-0.12	10610 008-0.14	7960 014-0.20	6370 016-0.22	5310 016-0.22	
	7		60 FEED 003-0.05	19100 005-0.07	9550 005-0.07	80 FEED 006-0.12	8490 008-0.14	6370 010-0.20	5090 012-0.24	4240 012-0.24	
	8		60 FEED 002-0.04	19100 003-0.05	9550 003-0.05	80 FEED 004-0.10	8490 007-0.13	6370 010-0.16	5090 012-0.18	4240 012-0.18	
	9		30 FEED 002-0.04	9550 003-0.05	4770 003-0.05	40 FEED 003-0.08	4240 005-0.11	3180 008-0.14	2550 010-0.14	2120 010-0.16	
M	10	High alloyed steel, and tool steel	50 FEED 003-0.05	15920 005-0.07	7960 005-0.07	70 FEED 004-0.10	7430 007-0.13	5570 010-0.16	4460 012-0.18	3710 012-0.18	
	11		30 FEED 002-0.04	9550 003-0.05	4770 003-0.05	40 FEED 003-0.08	4240 005-0.11	3180 008-0.14	2550 010-0.14	2120 010-0.16	
K	12	Stainless steel	50 FEED 003-0.05	15920 005-0.07	7960 005-0.07	70 FEED 006-0.12	7430 008-0.14	5570 014-0.20	4460 016-0.22	3710 016-0.22	
	13		35 FEED 002-0.04	11140 003-0.05	5570 003-0.05	45 FEED 004-0.10	4770 007-0.13	3580 010-0.16	2860 012-0.18	2390 012-0.18	
K	15	Grey cast iron	70 FEED 004-0.06	22280 004-0.06	11140 004-0.06	100 FEED 008-0.14	10610 012-0.18	7960 012-0.24	6370 014-0.26	5310 014-0.26	
	16		65 FEED 004-0.06	20690 004-0.06	10350 004-0.06	80 FEED 006-0.12	8490 008-0.14	6370 014-0.20	5090 016-0.22	4240 016-0.22	
K	17	Nodular cast iron	70 FEED 004-0.06	22280 004-0.06	11140 004-0.06	100 FEED 008-0.14	10610 012-0.18	7960 012-0.24	6370 014-0.26	5310 014-0.26	
	18		50 FEED 004-0.06	15920 004-0.06	7960 004-0.06	70 FEED 006-0.12	7430 008-0.14	5570 014-0.20	4460 016-0.22	3710 016-0.22	
K	19	Malleable cast iron	60 FEED 004-0.06	19100 004-0.06	9550 004-0.06	80 FEED 008-0.14	8490 012-0.18	6370 012-0.24	5090 014-0.26	4240 014-0.26	
	20		50 FEED 003-0.05	15920 005-0.07	7960 005-0.07	70 FEED 006-0.12	7430 008-0.14	5570 014-0.20	4460 016-0.22	3710 016-0.22	

ISO	VDI 3323	Material Description	Vc Parameter	Drill Diameter (mm)							
				8.0	10.0	12.0	14.0	16.0	18.0	20.0	
P	2	Non-alloy steel	100 FEED 018-0.24	3980 022-0.28	3180 020-0.30	2650 022-0.32	2270 024-0.34	1990 028-0.38	1770 030-0.40	1590 030-0.40	
	3		100 FEED 018-0.24	3980 022-0.28	3180 020-0.30	2650 022-0.32	2270 024-0.34	1990 028-0.38	1770 030-0.40	1590 030-0.40	
	4		100 FEED 014-0.2	3980 018-0.24	3180 018-0.24	2650 014-0.24	2270 016-0.26	1990 018-0.28	1770 020-0.30	1590 022-0.32	
	5		80 FEED 014-0.2	3180 018-0.24	2550 018-0.24	2120 016-0.26	1820 016-0.26	1590 018-0.28	1410 020-0.30	1270 022-0.32	
	6	low alloy steel	100 FEED 018-0.24	3980 022-0.28	3180 020-0.30	2650 022-0.32	2270 024-0.34	1990 028-0.38	1770 030-0.40	1590 030-0.40	
	7		80 FEED 016-0.28	3180 020-0.30	2550 021-0.30	2120 022-0.35	1820 025-0.36	1590 028-0.38	1410 030-0.40	1270 030-0.40	
	8		80 FEED 014-0.2	3180 018-0.24	2550 018-0.24	2120 016-0.26	1820 018-0.28	1590 020-0.30	1410 022-0.32	1270 022-0.32	
	9		40 FEED 012-0.18	1590 014-0.20	1270 014-0.24	1060 014-0.24	910 012-0.22	800 013-0.23	710 014-0.24	640 016-0.26	510 018-0.28
M	10	High alloyed steel, and tool steel	70 FEED 014-0.20	2790 018-0.24	2230 014-0.24	1860 014-0.24	1590 016-0.26	1390 018-0.28	1240 020-0.30	1110 022-0.32	
	11		40 FEED 012-0.18	1590 014-0.20	1270 014-0.20	1060 012-0.22	910 013-0.23	800 014-0.24	710 016-0.26	640 018-0.28	510 020-0.30
K	12	Stainless steel	70 FEED 018-0.24	2790 022-0.28	2230 020-0.30	1860 022-0.32	1590 024-0.34	1390 028-0.38	1240 030-0.40	1110 030-0.40	
	13		45 FEED 014-0.20	1790 018-0.24	1430 014-0.24	1190 014-0.24	1020 016-0.26	900 018-0.28	800 020-0.30	720 022-0.32	
K	15	Grey cast iron	100 FEED 016-0.28	3980 024-0.34	3180 026-0.36	2650 028-0.38	2270 030-0.40	1990 032-0.42	1770 034-0.44	1590 034-0.44	
	16		80 FEED 018-0.24	3180 022-0.28	2550 020-0.30	2120 022-0.32	1820 024-0.34	1590 028-0.38	1410 030-0.40	1270 030-0.40	
K	17	Nodular cast iron	100 FEED 016-0.28	3980 024-0.34	3180 026-0.36	2650 028-0.38	2270 030-0.40	1990 032-0.42	1770 034-0.44	1590 034-0.44	
	18		70 FEED 018-0.24	2790 022-0.28	2230 020-0.30	1860 022-0.32	1590 024-0.34	1390 028-0.38	1240 030-0.40	1110 032-0.42	
K	19	Malleable cast iron	80 FEED 016-0.28	3180 024-0.34	2550 026-0.36	2120 028-0.38	1820 030-0.40	1590 032-0.42	1410 034-0.44	1270 034-0.44	
	20		70 FEED 018-0.24	2790 022-0.28	2230 020-0.30	1860 022-0.32	1590 024-0.34	1390 028-0.38	1240 030-0.40	1110 030-0.40	

► Recommend to reduce the feed rate as following

Feed 100% : DH404(3xD), DH423(3xD), DH424(5xD)

Phone: +82-32-526-0909, www.yg1.kr, E-mail:yg1@yg1.kr

YG YG-1 CO., LTD.

39

Lampiran 6 Perhitungan nilai parameter

$$\begin{aligned} v &= \frac{(\pi d n)}{1000} \\ n_1 &= \frac{1000 \cdot cs}{\pi \cdot d} \\ &= \frac{1000 \cdot 40}{\frac{22}{7} \cdot 12} \\ &= 1060 \text{ rpm} \quad (1000 \text{ rpm}) \end{aligned}$$

$$\begin{aligned} f_{r1} &= n \times f \\ &= 1000 \times 0,12 \\ &= 120 \text{ mm/menit} \end{aligned}$$

$$\begin{aligned} n_2 &= \frac{1000 \cdot cs}{\pi \cdot d} \\ &= \frac{1000 \cdot 50}{\frac{22}{7} \cdot 12} \\ &= 1326 \text{ rpm} \quad (1300 \text{ rpm}) \end{aligned}$$

$$\begin{aligned} f_{r2} &= n \times f \\ &= 1300 \times 0,14 \\ &= 182 \text{ mm/menit} \\ &\quad (180 \text{ mm/menit}) \end{aligned}$$

$$\begin{aligned} n_3 &= \frac{1000 \cdot cs}{\pi \cdot d} \\ &= \frac{1000 \cdot 60}{\frac{22}{7} \cdot 12} \\ &= 1591 \text{ rpm} \quad (1600 \text{ rpm}) \end{aligned}$$

$$\begin{aligned} f_{r3} &= n \times f \\ &= 1600 \times 0,18 \\ &= 288 \text{ mm/menit} \\ &\quad (280 \text{ mm/menit}) \end{aligned}$$

Lampiran 7 Tabel F

		Titik Persentase Distribusi F untuk Probabilitas = 0,05														
dilakukan perhitungan (N)		dilakukan pembagian (M)														
		1	2	3	4	5	6	7	8	9	10	11	12	13	14	15
1	161	159	216	225	230	234	237	239	241	242	243	244	245	245	246	
2	18,51	19,00	19,16	19,25	19,30	19,33	19,35	19,37	19,38	19,40	19,40	19,41	19,42	19,42	19,43	
3	10,13	9,55	9,28	9,12	9,01	8,94	8,89	8,85	8,81	8,79	8,76	8,76	8,73	8,71	8,70	
4	7,71	6,94	6,59	6,39	6,28	6,16	6,09	6,04	6,00	5,98	5,94	5,91	5,89	5,87	5,85	
5	6,51	5,79	5,41	5,18	5,03	4,85	4,68	4,52	4,77	4,74	4,70	4,68	4,66	4,64	4,62	
6	5,39	5,14	4,76	4,53	4,39	4,28	4,21	4,15	4,10	4,08	4,03	4,03	3,98	3,96	3,94	
7	5,29	4,74	4,35	4,12	3,87	3,67	3,79	3,73	3,68	3,64	3,60	3,57	3,53	3,53	3,51	
8	5,22	4,46	4,07	3,84	3,69	3,58	3,50	3,44	3,39	3,35	3,31	3,28	3,26	3,24	3,22	
9	5,12	4,25	3,88	3,63	3,48	3,37	3,29	3,23	3,18	3,14	3,10	3,07	3,03	3,03	3,01	
10	4,98	4,10	3,71	3,48	3,33	3,22	3,14	3,07	3,02	2,98	2,94	2,91	2,89	2,86	2,85	
11	4,84	3,98	3,59	3,36	3,20	3,09	3,01	2,95	2,90	2,85	2,82	2,79	2,76	2,74	2,72	
12	4,73	3,89	3,49	3,26	3,11	3,00	2,91	2,85	2,80	2,75	2,72	2,69	2,66	2,64	2,62	
13	4,67	3,81	3,41	3,18	3,03	2,92	2,83	2,77	2,71	2,67	2,63	2,60	2,58	2,55	2,53	
14	4,60	3,74	3,34	3,11	2,98	2,85	2,76	2,70	2,65	2,60	2,57	2,55	2,51	2,48	2,46	
15	4,54	3,68	3,29	3,06	2,90	2,79	2,71	2,64	2,59	2,54	2,51	2,48	2,45	2,42	2,40	
16	4,49	3,63	3,24	3,01	2,85	2,74	2,66	2,59	2,54	2,49	2,46	2,43	2,40	2,37	2,35	
17	4,45	3,59	3,20	2,98	2,81	2,70	2,61	2,55	2,49	2,45	2,41	2,38	2,35	2,33	2,31	
18	4,41	3,55	3,16	2,93	2,77	2,66	2,58	2,51	2,46	2,41	2,37	2,34	2,31	2,29	2,27	
19	4,38	3,52	3,13	2,90	2,74	2,63	2,54	2,48	2,42	2,38	2,34	2,31	2,28	2,26	2,23	
20	4,35	3,49	3,10	2,87	2,71	2,60	2,51	2,45	2,39	2,35	2,31	2,28	2,25	2,22	2,20	
21	4,32	3,47	3,07	2,84	2,68	2,57	2,49	2,42	2,37	2,32	2,28	2,25	2,22	2,20	2,18	
22	4,30	3,44	3,05	2,82	2,66	2,55	2,46	2,40	2,34	2,30	2,26	2,23	2,20	2,17	2,15	
23	4,28	3,42	3,03	2,80	2,64	2,53	2,44	2,37	2,32	2,27	2,24	2,20	2,18	2,15	2,13	
24	4,26	3,40	3,01	2,78	2,62	2,51	2,42	2,35	2,30	2,25	2,22	2,18	2,15	2,13	2,11	
25	4,24	3,38	2,99	2,76	2,60	2,49	2,40	2,34	2,28	2,24	2,20	2,16	2,14	2,11	2,09	
26	4,23	3,37	2,98	2,74	2,59	2,47	2,39	2,32	2,27	2,22	2,18	2,15	2,12	2,09	2,07	
27	4,21	3,35	2,96	2,73	2,57	2,46	2,37	2,31	2,25	2,20	2,17	2,13	2,10	2,08	2,06	
28	4,20	3,34	2,95	2,71	2,56	2,45	2,36	2,29	2,24	2,19	2,15	2,12	2,09	2,06	2,04	
29	4,18	3,33	2,93	2,70	2,55	2,43	2,35	2,28	2,22	2,18	2,14	2,10	2,08	2,05	2,03	
30	4,17	3,32	2,92	2,69	2,53	2,42	2,33	2,27	2,21	2,16	2,13	2,09	2,06	2,04	2,01	
31	4,16	3,30	2,91	2,68	2,52	2,41	2,32	2,25	2,19	2,15	2,11	2,08	2,05	2,03	2,00	
32	4,15	3,29	2,90	2,67	2,51	2,40	2,31	2,24	2,19	2,14	2,10	2,07	2,04	2,01	1,99	
33	4,14	3,28	2,89	2,66	2,50	2,39	2,30	2,23	2,18	2,13	2,09	2,06	2,03	2,00	1,98	
34	4,13	3,28	2,88	2,65	2,49	2,38	2,29	2,23	2,17	2,12	2,08	2,05	2,02	1,99	1,97	
35	4,12	3,27	2,87	2,64	2,48	2,37	2,29	2,22	2,16	2,11	2,07	2,04	2,01	1,98	1,96	
36	4,11	3,26	2,87	2,63	2,48	2,36	2,28	2,21	2,15	2,11	2,07	2,03	2,00	1,98	1,95	
37	4,11	3,25	2,86	2,63	2,47	2,36	2,27	2,20	2,14	2,10	2,06	2,03	2,00	1,97	1,95	
38	4,10	3,24	2,85	2,62	2,46	2,35	2,26	2,19	2,14	2,09	2,05	2,02	1,99	1,96	1,94	
39	4,09	3,24	2,85	2,61	2,46	2,34	2,26	2,19	2,13	2,08	2,04	2,01	1,98	1,95	1,93	
40	4,08	3,23	2,84	2,61	2,45	2,34	2,25	2,18	2,12	2,07	2,03	2,00	1,97	1,95	1,93	
41	4,08	3,23	2,83	2,60	2,44	2,33	2,24	2,17	2,12	2,07	2,03	2,00	1,97	1,94	1,92	
42	4,07	3,22	2,83	2,59	2,44	2,32	2,24	2,17	2,11	2,06	2,03	1,99	1,96	1,94	1,91	
43	4,07	3,21	2,82	2,58	2,43	2,32	2,23	2,16	2,11	2,06	2,02	1,98	1,95	1,93	1,91	
44	4,06	3,21	2,82	2,58	2,43	2,31	2,23	2,16	2,10	2,05	2,01	1,98	1,95	1,92	1,90	
45	4,06	3,20	2,81	2,58	2,42	2,31	2,22	2,15	2,10	2,05	2,01	1,97	1,94	1,92	1,89	

Lampiran 8 Foto Proses Pemesinan



Setting ragum



Proses *drilling*
Diameter bor 10 mm



Proses *drilling*
(*finishing*)
Diameter bor 12 mm



Program CNC
1000 rpm



Program CNC
1300 rpm



Program CNC
1600 rpm

